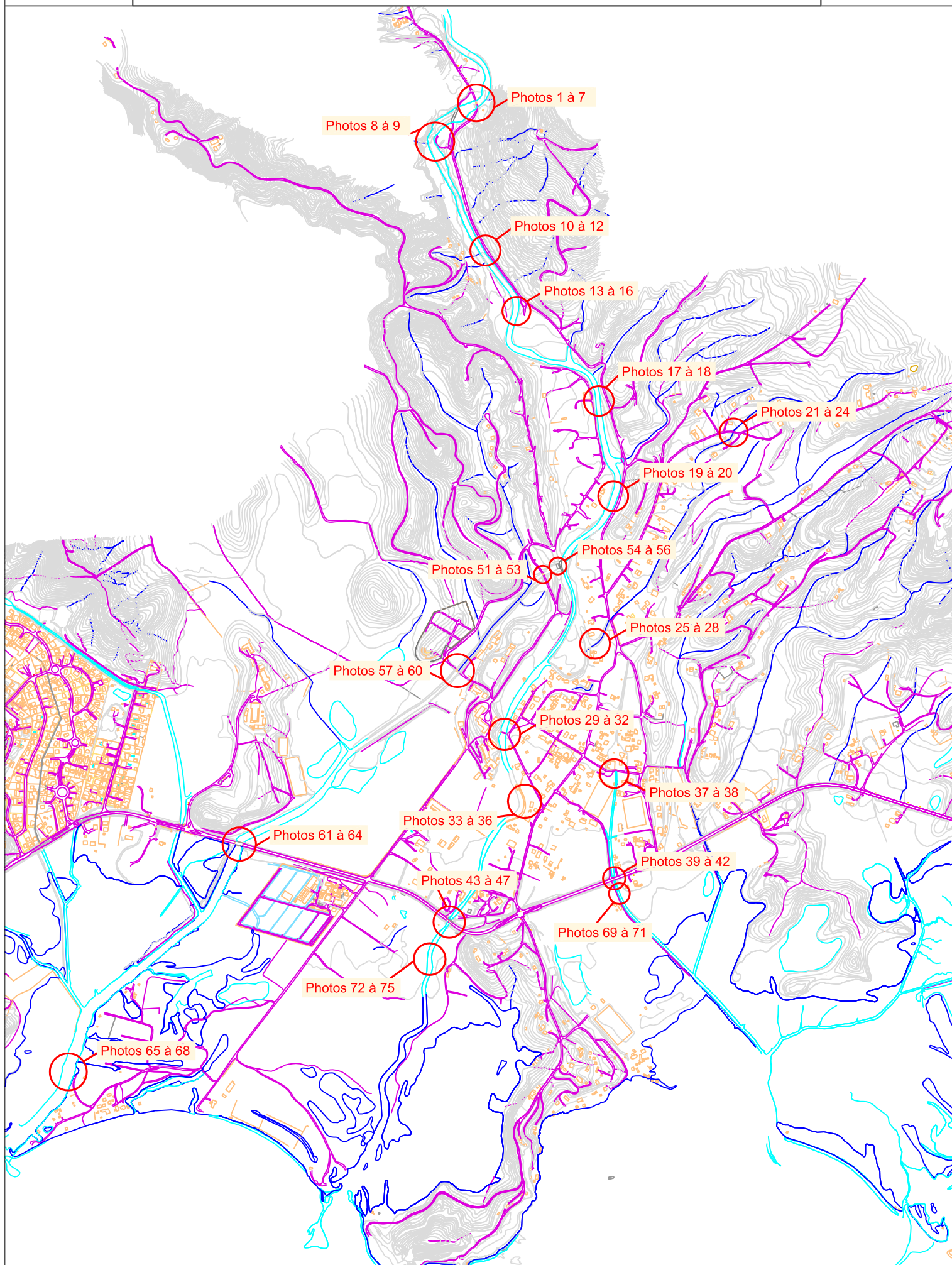


Annexe 1 : Reportage photographique



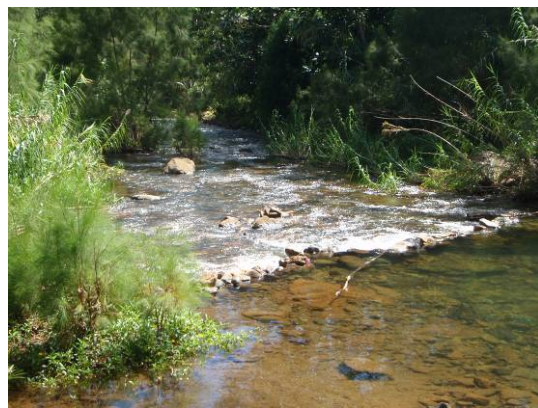
ANNEXE 1: PLANCHE PHOTOGRAPHIQUE DE LA ZONE D'ETUDE



1



2



3



4



5



6



7



8



9



10



11



12



13



14

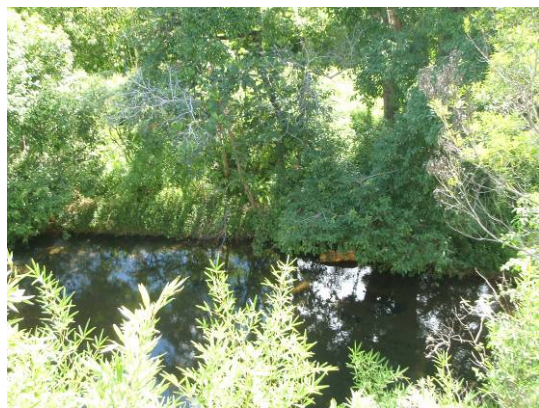


15

ANNEXE 1: PLANCHE PHOTOGRAPHIQUE DE LA ZONE D'ETUDE



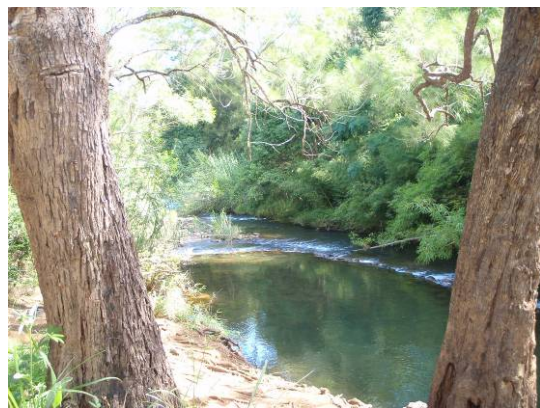
16



17



18



19



20



21



22



23



24



25



26



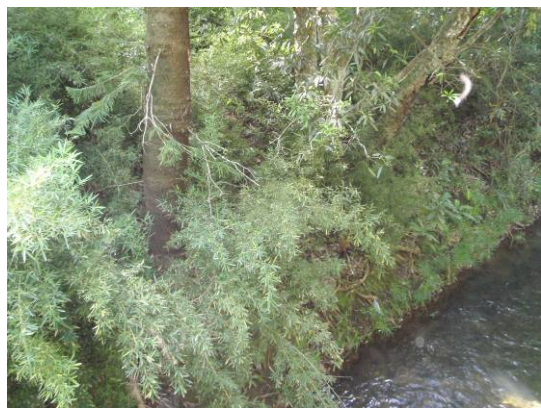
27



28



29



30

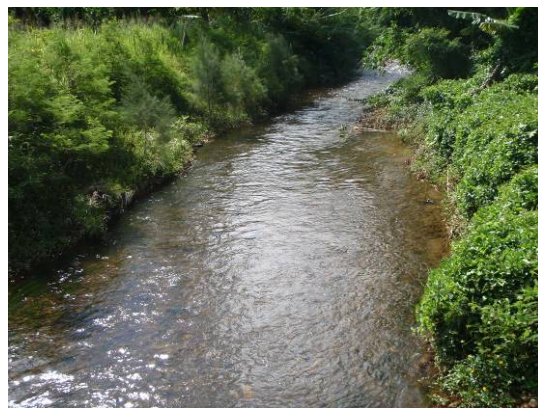
ANNEXE 1: PLANCHE PHOTOGRAPHIQUE DE LA ZONE D'ETUDE



31



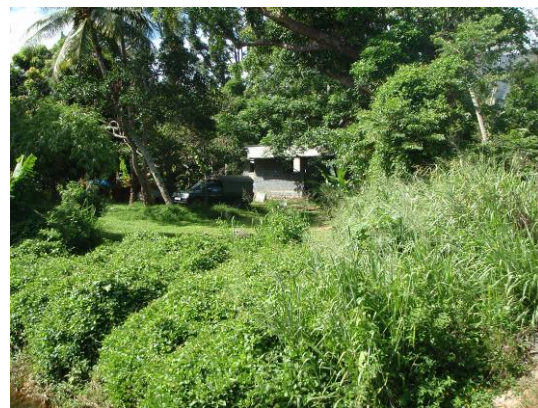
32



33



34



35



36



37



38



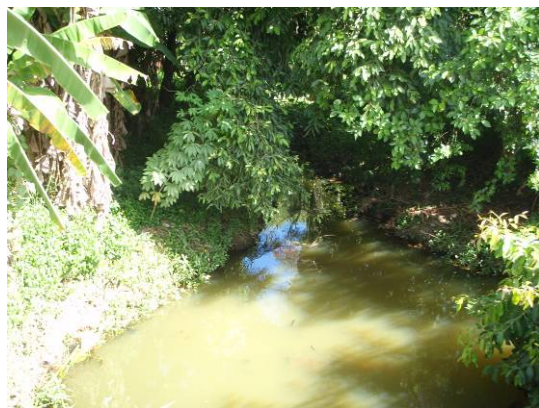
39



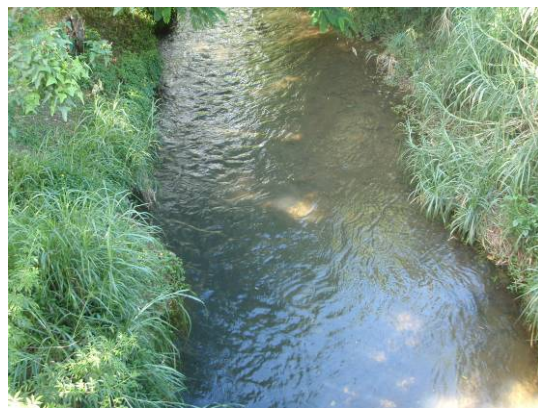
40



41



42



43



44



45

ANNEXE 1: PLANCHE PHOTOGRAPHIQUE DE LA ZONE D'ETUDE



46



47



48



49



50



51



52



53



54



55



56



57



58



59



60

ANNEXE 1: PLANCHE PHOTOGRAPHIQUE DE LA ZONE D'ETUDE



61



62



63



64



65



66



67



68



69



70



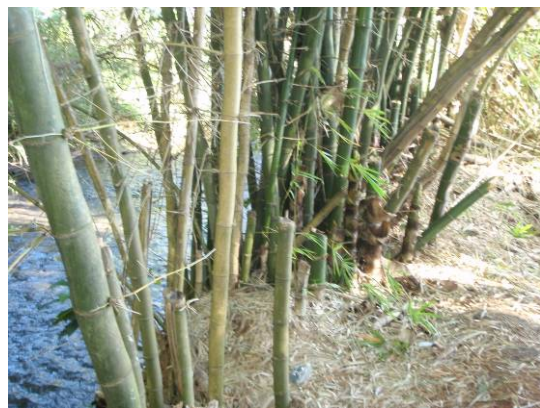
71



72



73



74

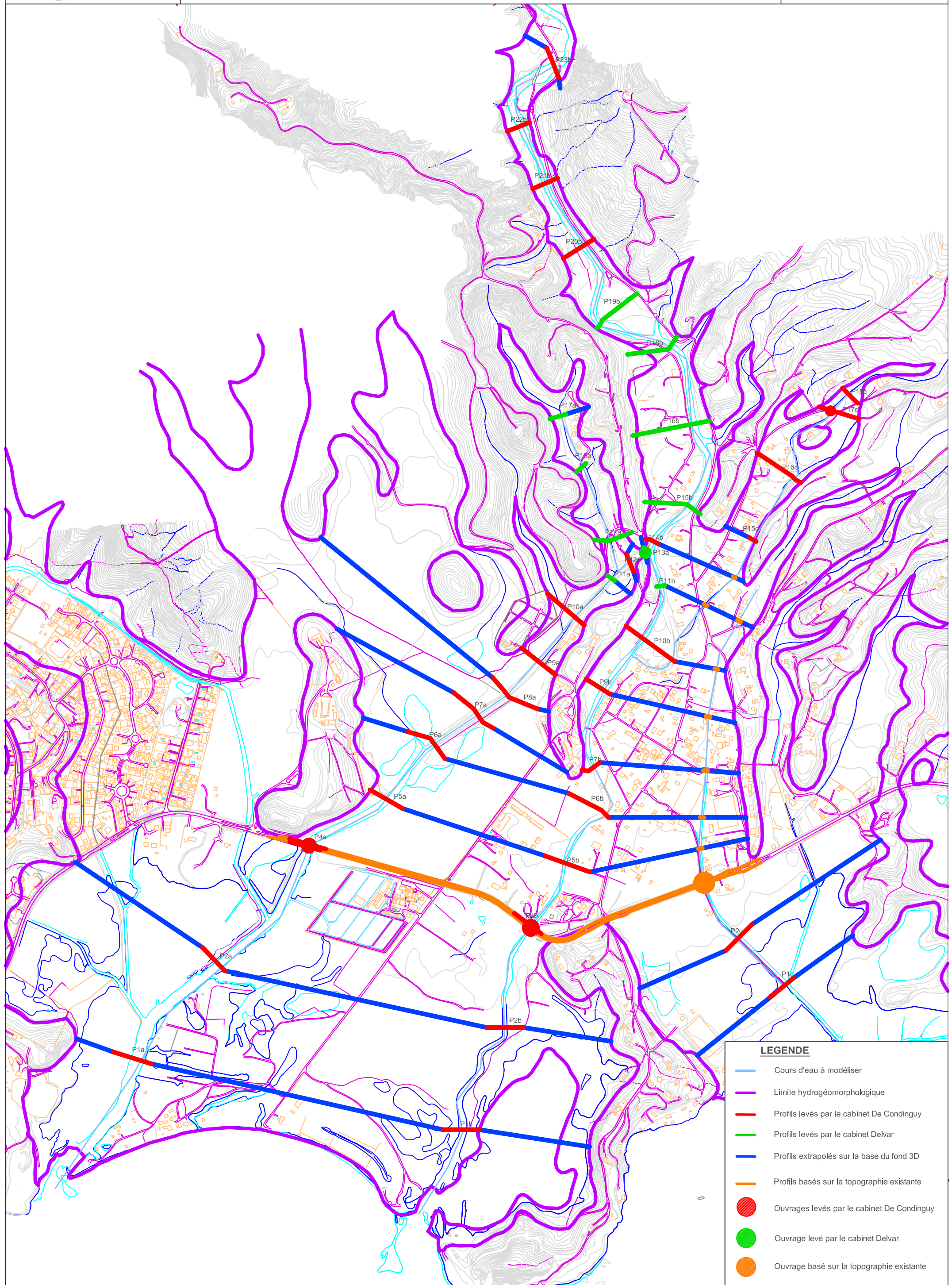


75

Annexe 2 : Débits injectés dans le modèle aux différents nœuds

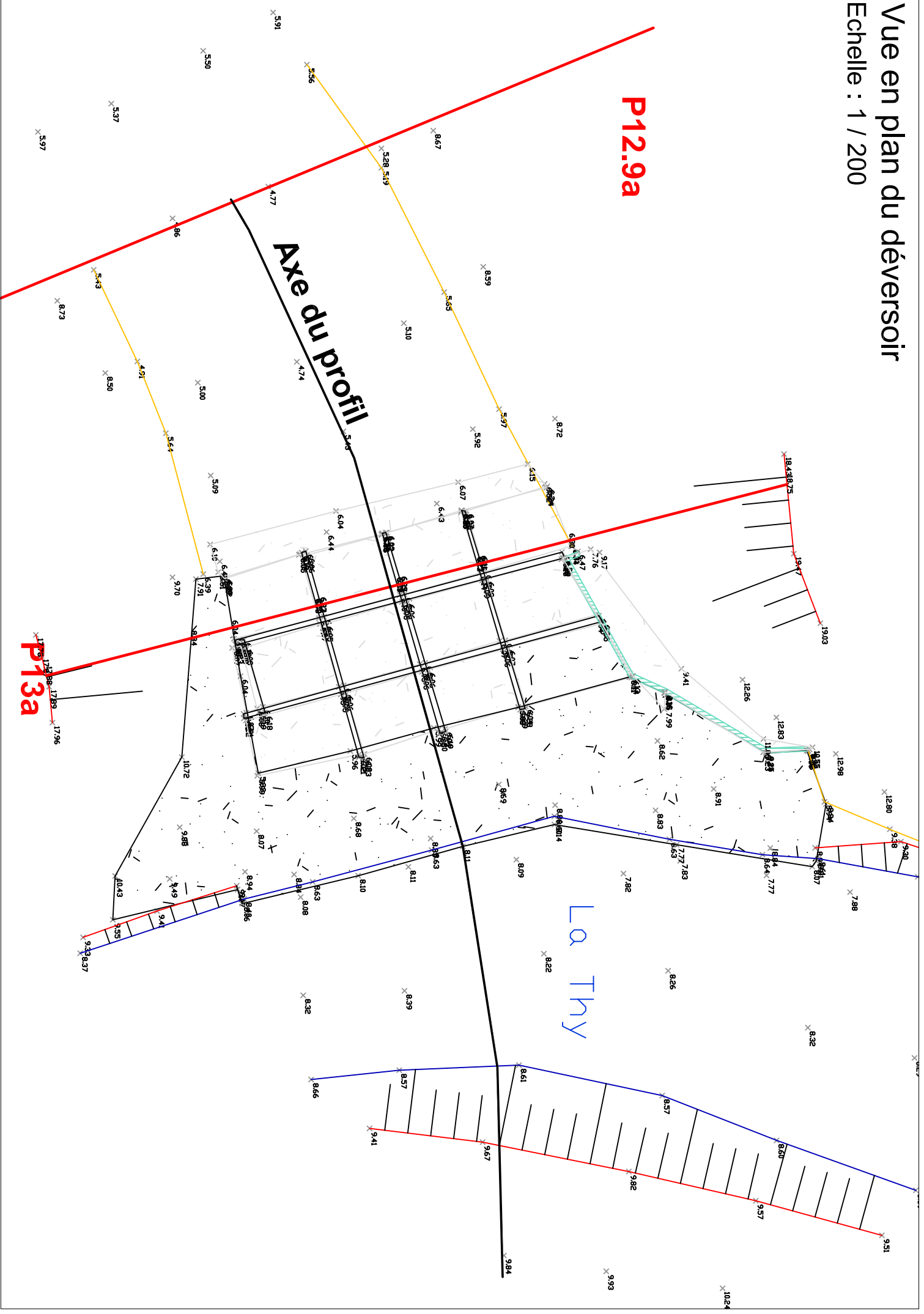
Localisation sur profils	Bassins versants injectés	Surface (en km²)	Débits en m³/s								
			T=5ans			T=10ans			T=100ans		
			Q min	Q	Q max	Q min	Q	Q max	Q min	Q	Q max
23b	T1	17.08	176.4	235.3	260.5	235.3	310.9	344.5	420.1	537.7	630.2
19b	T1,T2	20.72	203.9	271.9	301.0	271.9	359.3	398.2	485.6	621.5	728.3
17a	T5a	0.12	1.8	2.3	2.8	2.9	3.7	4.4	5.9	7.4	8.8
14a	T5a,T5b	0.24	3.7	4.6	5.5	5.9	7.3	8.8	11.8	14.8	17.7
11a	T5a,T5b	0.24	3.7	4.6	5.5	5.9	7.3	8.8	11.8	14.8	17.7
10a	T5,T6,T9a	0.53	13.1	17.5	19.3	17.5	23.1	25.6	31.2	39.9	46.8
6a	T5,T6,T9, T7	3.29	51.2	68.3	75.6	68.3	90.3	100.1	122.0	156.2	183.0
18c	T3a	1.02	12.7	15.9	19.1	20.1	25.1	30.1	32.6	40.8	48.9
10b	T1,T2,T3,T4	22.15	214.4	285.8	316.5	285.8	377.7	418.6	510.4	653.4	765.7
7b	T1,T2,T3, T10,T4,T11a	22.61	217.7	290.3	321.4	290.3	383.6	425.1	518.4	663.5	777.6
5b	T1,T2,T3, T10,T4,T11	22.76	218.8	291.8	323.1	291.8	385.6	427.3	521.1	667.0	781.6
2	T1 à T14	31.58	279.8	373.0	413.0	373.0	492.9	546.2	666.1	852.6	999.2
Fossé aval P3.2	déversement de la RP1 + ouvrage	-		8.0			35.0			121.0	
Fossé aval P2	déversement de la RP1 + ouvrage + T12 et T13	1.37		43.0			82.0			202.0	

Annexe 3 : Plan des levés topographiques réalisés



Annexe 4 : Vue en plan du seuil déversant

Echelle : 1 / 200



**Annexe 5 : Résultats de simulation des crues 5, 10 et 100
ans**

Résultats de simulation : Crue 5 ans

Bief	N°coupe	Dist. RG	Dist. LM	Dist. RD	Z (m)	H (m)	V_Total (m/s)	V_RG (m/s)	V_LM (m/s)	V_RD (m/s)	Q_Total (m3/s)	Q_RG (m3/s)	Q_LM (m3/s)	Q_RD (m3/s)	n RG	n LM	n RD	Berge LM RG (m)	Berge LM RD (m)	Fond (m)	Froude
artificiel amont	13	4.5	4.5	4.5	8.31	8.31	0.03		0.03		1		1			0.05		17.88	18.74	6.04	0.01
	12.9	40	40	40	6.83	7.35	3.21		3.21		84.72		84.72			0.05		8.73	8.67	4.77	0.79
	12	68	68	68	6.56	6.87	1.83	0.81	2.75	0.09	84.72	17.85	66.85	0.01	0.125	0.05	0.125	5.33	6.67	4.18	0.68
principal	23	102.5	124.5	138	33.2	33.8	3.45	0.08	3.45		235.3	0	235.3		0.125	0.05		33.15	33.53	30.57	0.81
	22	93.5	94	95.5	29.49	30.22	2.41	1.19	4.31	0.81	235.3	36.81	177.8	20.69	0.125	0.05	0.125	27.61	28.2	25.86	0.8
	21	99	101.5	104	26.58	27.35	3.67		3.89	0.4	235.3		233.68	1.62		0.05	0.125	27.29	25.72	22.7	0.77
	20	115	141	135	24.51	25.08	3.17	0.35	3.36	0.16	235.3	1.36	233.83	0.11	0.125	0.05	0.125	24.05	24.32	20.28	0.66
	19	97	110	98	21.78	22.4	1.84	0.76	4.1	0.65	271.9	74.07	196.3	1.53	0.125	0.05	0.125	19.39	20.27	17.93	0.77
	18	134	126	118.5	18.7	19.4	3.07	0.88	3.79	0.41	271.9	7.75	259.51	4.64	0.125	0.05	0.125	16.37	17.86	14.77	0.69
	16	141	134	113	16.25	16.73	2.17	0.95	3.48		271.9	61.35	210.55		0.125	0.05		13.28	16.4	12.31	0.61
	15	69	77.5	72.5	13.28	13.88	2.98		3.45	0.28	271.9		268.17	3.73		0.05	0.125	13.64	12.93	9.14	0.66
	14	45.99	51.67	46.67	11.55	12.3	3.83		3.84	0.19	271.9		271.88	0.02		0.05	0.125	11.85	11.39	8.39	0.87
	13.5	Lat Struct																			
	11	84	98	80	10.89	11.18	1.74	0.44	2.49	0.29	188.18	17.02	171.05	0.11	0.115	0.062	0.125	9.44	10.3	7.76	0.51
	10	71.5	90.5	96.5	9.26	9.55	1.39	0.66	2.87	0.1	202.08	63.57	138.43	0.08	0.091	0.04	0.125	8.86	9.05	5.3	0.6
	9	98	123.5	126	7.94	8.38	1.13	0.38	3.4	0.4	202.08	41.9	150.04	10.14	0.112	0.04	0.125	6.28	6.86	4.45	0.65
	7	148	157	147	6.26	6.53	0.83	0.42	3.01	0.3	206.58	83.49	119.94	3.15	0.114	0.04	0.125	5.67	5.61	3.15	0.65
	6	15.3	19.5	21.6	5.2	5.38	0.73	0.39	2.49	0.27	206.58	82.01	117.76	6.81	0.115	0.04	0.125	5.55	4.75	2.19	0.55
	5.99	Lat Struct																			
	5	10.73	19.91	19	4.97	4.98	0.22	0.18	0.79	0.16	173.34	113.65	42.29	17.4	0.122	0.04	0.125	4.11	4.19	1.41	0.18
	4	5	5	5	4.95	4.95	0.12	0.1	0.31	0.06	127.46	96.61	30.4	0.46	0.122	0.06	0.125	2.75	3.1	1.49	0.06
	3.5	Bridge																			
	3.2	10	10	10	2.66	3.29	3.39	1.21	3.54		127.46	2.87	124.59		0.05	0.04		2.54	3.02	0.98	0.96
affluent2	17	17.67	18.89	19.56	10.42	10.46	0.86		0.9	0.15	2.3		2.28	0.02		0.05	0.125	13.33	10.29	10.03	0.57
	16	24.6	23.9	23	7.92	7.94	0.69		0.69		2.3		2.3			0.05		9.99	8.71	7.48	0.38
	14	121	121	121	7.01	7.02	0.45		0.45		4.6		4.6			0.05		7.18	8.77	5.38	0.14
artificiel aval	11	50	48.33	51	5.96	6.24	1.22	0.63	2.93	0.17	88.32	33.57	54.73	0.02	0.125	0.05	0.125	3.47	5.72	2.53	0.61
	10	19.3	18.4	19.6	4.97	5.15	0.95	0.55	2.23	0.34	101.22	13	70.84	17.38	0.125	0.05	0.125	3.59	4.57	2.12	0.48
	9	16.86	19.29	17.57	3.92	4.12	1.23	0.35	2.15	0.38	101.22	5.18	85.56	10.47	0.125	0.05	0.125	3.11	3.3	1.43	0.49
	8	38.33	34	40.33	3.91	3.91	0.11	0.05	0.36	0.09	101.22	1.45	22.6	77.17	0.125	0.04	0.125	3.31	3.38	1.44	0.09
	7	72	159	177	3.9	3.9	0.08	0.06	0.22	0.08	101.22	20.81	11.14	69.27	0.125	0.04	0.125	3.2	3.08	0.84	0.05
	6	19.64	18.82	21	3.89	3.89	0.16	0.11	0.51	0.15	152.02	42.42	36.07	73.53	0.125	0.04	0.125	2.66	2.63	0.23	0.1
	5	19	18.8	21	3.81	3.84	0.34	0.17	0.96	0.21	186.76	59.15	110.19	17.41	0.125	0.04	0.125	2.11	2.34	0.03	0.2
	4	5	5	5	3.73	3.74	0.23	0.15	0.91	0.18	232.64	112.86	95.81	23.97	0.125	0.04	0.125	1.59	1.37	-0.04	0.17
	3.5	Bridge																			
3.2	10	10	10	2.13	2.62	1.64	0.3	3.28	0.42	232.64	16.51	205.42	10.7	0.125	0.04	0.125	1.61	3.02	-0.57	0.73	
affluent1	18	50	73	74	38.41	38.77	2.67		2.67		15.9		15.9			0.067		40.28	39.52	37.43	1.01
	17.5	1	1	1	35.54	35.6	0.73		1.5	0.51	15.9		7.22	8.68		0.067	0.125	36.24	36.22	34.32	0.49
	17.4	Bridge																			
	17.3	2	2	2	35.36	35.51	1.11		2.25	0.68	15.9		8.88	7.02		0.067	0.125	36.24	36.22	34.32	0.78
	17	240	274	232	33.79	34.2	2.83		2.83		15.9		15.9			0.067		36.16	35.98	32.06	0.79
	16	220	220	222	23.64	23.96	1.87	0.74	2.68	0.55	15.9	1.77	13.56	0.57	0.125	0.067	0.125	23.02	23.19	22.44	0.85
	15	130	130	130	16.82	16.99	1.15		1.94	0.29	15.9		13.97	1.93		0.067	0.125	17.46	16.83	15.01	0.65
principal aval	14	119	119	119	13.7	13.97	1.91	0.29	2.31	0.41	15.9	0.32	15.33	0.25	0.125	0.067	0.125	13.94	13.33	11.49	0.67
	11				11.17	11.26	0.65	0.38	1.79	0.21	15.9	7.35	8.46	0.09	0.125	0.067	0.125	10.9	11.02	9.61	0.61
	3.1	220	300	375	2.24	2.45	2.05	0.25	2.05	0.23	360.1	0.05	360.02	0.03	0.05	0.046	0.125	2.54	1.88	-0.57	0.97
	2	295	358	330	1.94	1.94	0.22	0.14	0.24	0.25	373	63.39	121.9	187.72	0.119	0.076	0.125	2.25	1.66	-0.86	0.1
	1	311	311	311	1.71	1.72	0.29	0.25	0.37	0.25	373	164.48	170.64	37.87	0.116	0.064	0.125	0.95	0.97	-0.96	0.15
	0.5				1.1	1.13	0.82	0.09	0.82	0.09	373	0.03	372.49	0.48	0.125	0.04	0.125	1	1	-0.88	0.54
Fossé aval	3.2	140	200	212	2.85	3.13	2.36		2.36		8		8			0.05		4.1	4.44	2.19	1
	2	200	200	200	1.61	1.62	0.23	0.21	0.77	0.17	43	33.82	5.8	3.38	0.125	0.05	0.125	1.34	2.02	0.46	0.31
	1	311	311	311	1.32	1.32	0.25	0.24	0.47	0.08	43	29.58	10.89	2.54	0.125	0.068	0.125	0.4	1.04	-0.04	0.15

Résultats de simulation : Crue 10 ans

Bief	N°coupe	Dist. RG	Dist. LM	Dist. RD	Z (m)	H (m)	V_Total (m/s)	V_RG (m/s)	V_LM (m/s)	V_RD (m/s)	Q_Total (m3/s)	Q_RG (m3/s)	Q_LM (m3/s)	Q_RD (m3/s)	n RG	n LM	n RD	Berge LM RG (m)	Berge LM RD (m)	Fond (m)	Froude					
artificiel amont	13	4.5	4.5	4.5	8.65	8.65	0.02		0.02		1		1			0.05		17.88	18.74	6.04	0					
	12.9	40	40	40	7.03	7.66	3.52		3.52		104.19		104.19			0.05		8.73	8.67	4.77	0.82					
	12	68	68	68	6.74	7.13	1.83	0.76	3.09	0.18	104.19	20.53	83.14	0.52	0.125	0.05	0.125	5.33	6.67	4.18	0.73					
principal	23	102.5	124.5	138	33.48	34.27	3.9	0.23	3.94		310.9	0.23	310.67		0.125	0.05		33.15	33.53	30.57	0.86					
	22	93.5	94	95.5	29.91	30.75	2.49	1.29	4.74	0.99	310.9	50.52	222.31	38.07	0.125	0.05	0.125	27.61	28.2	25.86	0.82					
	21	99	101.5	104	27.07	27.97	3.73		4.25	0.62	310.9		303.41	7.49		0.05	0.125	27.29	25.72	22.7	0.78					
	20	115	141	135	25	25.67	3.11	0.49	3.68	0.38	310.9	5.26	302.99	2.65	0.125	0.05	0.125	24.05	24.32	20.28	0.66					
	19	97	110	98	22.3	22.79	1.65	0.86	3.9	0.67	359.3	135.79	220.63	2.88	0.125	0.05	0.125	19.39	20.27	17.93	0.68					
	18	134	126	118.5	19.1	19.96	2.97	1.01	4.28	0.53	359.3	11.51	330.72	17.07	0.125	0.05	0.125	16.37	17.86	14.77	0.73					
	16	141	134	113	16.51	17.02	1.69	1.07	3.78	0.45	359.3	79.49	247.01	32.8	0.125	0.05	0.125	13.28	16.4	12.31	0.64					
	15	69	77.5	72.5	13.73	14.4	2.64	0.1	3.73	0.49	359.3	0.03	336.84	22.43	0.125	0.05	0.125	13.64	12.93	9.14	0.66					
	14	45.99	51.67	46.67	11.89	12.84	4.24	0.08	4.31	0.41	359.3	0.04	358.86	0.4	0.125	0.05	0.125	11.85	11.39	8.39	0.91					
	13.5										Lat Struct															
	11	84	98	80	11.25	11.53	1.44	0.5	2.63	0.38	256.11	48.92	206.8	0.39	0.117	0.062	0.125	9.44	10.3	7.76	0.5					
	10	71.5	90.5	96.5	9.49	9.84	1.38	0.72	3.25	0.2	274.51	100.29	172.91	1.31	0.096	0.04	0.125	8.86	9.05	5.3	0.65					
	9	98	123.5	126	8.27	8.63	0.9	0.41	3.4	0.5	274.51	87.36	167.54	19.61	0.115	0.04	0.125	6.28	6.86	4.45	0.61					
	7	148	157	147	6.39	6.7	0.91	0.52	3.4	0.4	280.41	130.8	143.78	5.83	0.116	0.04	0.125	5.67	5.61	3.15	0.71					
	6	15.3	19.5	21.6	5.38	5.57	0.76	0.46	2.69	0.35	280.41	128.11	138.8	13.49	0.117	0.04	0.125	5.55	4.75	2.19	0.58					
	5.99										Lat Struct															
	5	10.73	19.91	19	5.17	5.18	0.24	0.2	0.82	0.17	215.52	144.28	48.11	23.14	0.122	0.04	0.125	4.11	4.19	1.41	0.18					
	4	5	5	5	5.15	5.15	0.11	0.09	0.28	0.06	133.5	104	28.94	0.55	0.122	0.06	0.125	2.75	3.1	1.49	0.05					
	3.5										Bridge															
	affluent2	3.2	10	10	10	2.7	3.34	3.43	1.24	3.59		133.5	3.31	130.19		0.051	0.04		2.54	3.02	0.98	0.96				
17		17.67	18.89	19.56	10.5	10.56	0.98		1.08	0.2	3.7		3.61	0.09		0.05	0.125	13.33	10.29	10.03	0.6					
16		24.6	23.9	23	8.04	8.08	0.8		0.8		3.7		3.7			0.05		9.99	8.71	7.48	0.39					
14		121	121	121	7.2	7.22	0.58	0.04	0.6		7.3	0.02	7.28		0.125	0.05		7.18	8.77	5.38	0.17					
artificiel aval	11	50	48.33	51	6.19	6.46	1.23	0.7	3.03	0.26	110.49	48.46	61.94	0.1	0.125	0.05	0.125	3.47	5.72	2.53	0.6					
	10	19.3	18.4	19.6	5.15	5.34	0.95	0.59	2.34	0.42	126.29	16.71	80.54	29.04	0.125	0.05	0.125	3.59	4.57	2.12	0.48					
	9	16.86	19.29	17.57	4.1	4.32	1.25	0.42	2.31	0.46	126.29	8.66	100.72	16.91	0.125	0.05	0.125	3.11	3.3	1.43	0.51					
	8	38.33	34	40.33	4.11	4.11	0.12	0.06	0.38	0.1	126.29	2.57	26.78	96.95	0.125	0.04	0.125	3.31	3.38	1.44	0.09					
	7	72	159	177	4.1	4.11	0.09	0.07	0.26	0.09	126.29	25.36	14.29	86.65	0.125	0.04	0.125	3.2	3.08	0.84	0.06					
	6	19.64	18.82	21	4.09	4.09	0.18	0.13	0.58	0.17	193.49	56.54	44.54	92.42	0.125	0.04	0.125	2.66	2.63	0.23	0.11					
	5	19	18.8	21	3.97	4.02	0.42	0.22	1.2	0.27	260.37	89.11	146.57	24.69	0.125	0.04	0.125	2.11	2.34	0.03	0.24					
	4	5	5	5	3.84	3.87	0.31	0.21	1.21	0.24	342.4	174.03	132.86	35.51	0.125	0.04	0.125	1.59	1.37	-0.04	0.22					
affluent1	3.5									Bridge																
	3.2	10	10	10	2.56	2.92	0.97	0.35	3.14	0.49	342.4	79.72	238.23	24.45	0.125	0.04	0.125	1.61	3.02	-0.57	0.64					
	18	50	73	74	38.67	39.15	3.06		3.06		25.1		25.1			0.067		40.28	39.52	37.43	1.01					
	17.5	1	1	1	35.7	35.77	0.83		1.68	0.63	25.1		9.56	15.54		0.067	0.125	36.24	36.22	34.32	0.52					
	17.4										Bridge															
	17.3	2	2	2	35.47	35.67	1.34		2.7	0.91	25.1		12.06	13.04		0.067	0.125	36.24	36.22	34.32	0.9					
	17	240	274	232	34.02	34.75	3.79		3.79		25.1		25.1			0.067		36.16	35.98	32.06	1					
	16	220	220	222	23.95	24.23	1.44	0.87	2.72	0.49	25.1	4.09	18.03	2.98	0.125	0.067	0.125	23.02	23.19	22.44	0.76					
principal aval	15	130	130	130	16.96	17.13	1.04		2.14	0.46	25.1		17.91	7.19		0.067	0.125	17.46	16.83	15.01	0.68					
	14	119	119	119	14.03	14.26	1.22	0.46	2.38	0.34	25.1	3.19	20.15	1.76	0.125	0.067	0.125	13.94	13.33	11.49	0.63					
	11				11.25	11.35	0.76	0.52	2.09	0.3	25.1	14.08	10.73	0.29	0.125	0.067	0.125	10.9	11.02	9.61	0.69					
	3.1	220	300	375	2.46	2.61	1.7	0.77	1.7	0.32	475.9	0.96	474.83	0.11	0.05	0.053	0.125	2.54	1.88	-0.57	0.75					
	2	295	358	330	2.11	2.11	0.23	0.16	0.25	0.27	492.9	98.01	168.22	226.68	0.12	0.083	0.125	2.25	1.66	-0.86	0.09					
Fossé aval	1	311	311	311	1.87	1.88	0.32	0.28	0.38	0.28	492.9	219.46	224.27	49.17	0.116	0.068	0.125	0.95	0.97	-0.96	0.15					
	0.5				1.1	1.16	1.08	0.12	1.09	0.12	492.9	0.04	492.23	0.63	0.125	0.04	0.125	1	1	-0.88	0.72					
	3.2	140	200	212	3.55	3.66	0.6		2.13	0.35	35		17.55	17.45		0.05	0.125	4.1	4.44	2.19	0.67					
	2	200	200	200	1.88	1.89	0.23	0.23	0.69	0.16	82	63.9	7.94	10.17	0.125	0.051	0.125	1.34	2.02	0.46	0.27					
	1	311	311	311	1.6	1.61	0.3	0.32	0.63	0.15	82	50.72	18.46	12.82	0.125	0.068	0.125	0.4	1.04	-0.04	0.17					

Résultats de simulation : Crue 100 ans																								
Bief	N°coupe	Dist. RG	Dist. LM	Dist. RD	Z (m)	H (m)	V_Total (m/s)	V_RG (m/s)	V_LM (m/s)	V_RD (m/s)	Q_Total (m3/s)	Q_RG (m3/s)	Q_LM (m3/s)	Q_RD (m3/s)	n RG	n LM	n RD	Berge LM RG (m)	Berge LM RD (m)	Fond (m)	Froude			
artificiel amont	13	4.5	4.5	4.5	9.42	9.42	0.02		0.02		1		1		0.125	0.05	0.125	17.880	18.74	6.04	0			
	12.9	40	40	40	7.32	8.37	4.55		4.55		155.18		155.18					8.730	8.67	4.77	1			
	12	68	68	68	7.15	7.57	1.67	0.85	3.35	0.49	155.18	35.89	110.73	8.57				5.330	6.67	4.18	0.71			
principal	23	102.5	124.5	138	34.28	35.45	4.16	0.73	4.84	0.36	537.7	11.18	524.47	2.06							33.150	33.53	30.57	0.9
	22	93.5	94	95.5	30.95	31.96	2.65	1.52	5.51	1.33	537.7	98.1	337.65	101.95							27.610	28.2	25.86	0.83
	21	99	101.5	104	28.09	29.38	3.86	0.43	5.23	1	537.7	2.97	497.73	37							27.290	25.72	22.7	0.83
	20	115	141	135	25.83	26.88	3.38	0.89	4.74	0.73	537.7	25.36	492.84	19.5							24.050	24.32	20.28	0.76
	19	97	110	98	23.12	23.69	1.85	1.15	4.51	0.84	621.5	296.93	317.4	7.17							19.390	20.27	17.93	0.7
	18	134	126	118.5	19.85	21.18	3.28	1.34	5.56	0.97	621.5	22.76	522.73	76.01							16.370	17.86	14.77	0.86
	16	141	134	113	17.43	17.89	1.53	1.15	4	0.77	621.5	126.36	330.65	164.49							13.280	16.4	12.31	0.61
	15	69	77.5	72.5	14.77	15.48	2.28	0.62	4.15	0.84	621.5	9.34	496.15	116.01							13.640	12.93	9.14	0.64
	14	45.99	51.67	46.67	12.86	13.88	2.97	0.69	4.71	0.86	621.5	58.39	557.75	5.37							11.850	11.39	8.39	0.83
	11	84	98	80	11.73	12.12	1.55	0.75	3.38	0.58	467.32	155.26	310.73	1.33		0.062		9.440	10.3	7.76	0.59			
	10	71.5	90.5	96.5	9.97	10.45	1.5	0.93	4.14	0.45	499.22	224.93	262.12	12.17		0.04		8.860	9.05	5.3	0.76			
	9	98	123.5	126	8.49	9.15	1.24	0.67	4.94	0.79	499.22	199.74	260.57	38.91		0.04		6.280	6.86	4.45	0.86			
	7	148	157	147	6.69	7.1	1.15	0.77	4.37	0.64	509.32	285.49	208.72	15.11		0.04		5.670	5.61	3.15	0.87			
	6	15.3	19.5	21.6	5.74	5.98	0.93	0.64	3.34	0.56	509.32	273.65	200.75	34.91		0.04		5.550	4.75	2.19	0.67			
	5	10.73	19.91	19	5.44	5.46	0.35	0.3	1.17	0.27	379.51	258.97	77.19	43.34		0.04		4.110	4.19	1.41	0.24			
	4	5	5	5	5.4	5.4	0.17	0.15	0.43	0.1	241.12	191.91	48.07	1.15		0.06		2.750	3.1	1.49	0.07			
	3.5	Bridge																						
	3.2	10	10	10	3.63	4.12	1.63	0.44	3.35	0.39	241.12	36.67	203.11	1.34			0.04		2.540	3.02	0.98	0.7		
affluent2	17	17.67	18.89	19.56	10.67	10.76	1.15		1.38	0.3	7.4		6.99	0.41				13.33	10.29	10.03	0.63			
	16	24.6	23.9	23	8.3	8.35	0.97		0.97		7.4		7.4					9.99	8.71	7.48	0.39			
	14	121	121	121	7.65	7.68	0.61	0.12	0.84		14.8	0.99	13.81				7.18	8.77	5.38	0.21				
artificiel aval	11	50	48.33	51	6.65	6.94	1.32	0.86	3.32	0.42	168.98	88.06	80.29	0.62				3.47	5.72	2.53	0.61			
	10	19.3	18.4	19.6	5.57	5.76	1	0.68	2.58	0.56	194.08	26.64	104.04	63.4				3.59	4.57	2.12	0.49			
	9	16.86	19.29	17.57	4.45	4.74	1.39	0.57	2.76	0.63	194.08	18.83	140.31	34.95				3.11	3.3	1.43	0.56			
	8	38.33	34	40.33	4.5	4.51	0.14	0.08	0.45	0.12	194.08	5.88	37.96	150.24				3.31	3.38	1.44	0.09			
	7	72	159	177	4.49	4.5	0.12	0.09	0.34	0.12	194.08	43.2	22.05	128.84				3.2	3.08	0.84	0.07			
	6	19.64	18.82	21	4.47	4.48	0.25	0.16	0.81	0.24	310.38	89.62	70.47	150.28				2.66	2.63	0.23	0.15			
	5	19	18.8	21	4.27	4.35	0.57	0.32	1.71	0.39	443.69	167.11	233.24	43.34				2.11	2.34	0.03	0.32			
	4	5	5	5	4.03	4.09	0.47	0.32	1.8	0.37	582.08	313.37	207.92	60.78				1.59	1.37	-0.04	0.31			
3.5	Bridge																							
3.2	10	10	10	2.94	3.3	0.94	0.48	3.58	0.64	582.08	220.91	314.1	47.07			0.04		1.61	3.02	-0.57	0.69			
affluent1	18	50	73	74	39.06	39.68	3.51		3.51		40.8		40.8			0.125	0.067	0.125	40.28	39.52	37.43	1		
	17.5	1	1	1	35.94	36.01	0.91		1.74	0.75	40.8		12.47	28.33				36.24	36.22	34.32	0.55			
	17.4	Bridge																						
	17.3	2	2	2	35.65	35.88	1.49		3.06	1.11	40.8		16.45	24.35				36.24	36.22	34.32	0.96			
	17	240	274	232	34.69	35.49	3.95		3.95		40.8		40.8					36.16	35.98	32.06	1			
principal aval	16	220	220	222	24.2	24.5	1.46	1.02	3.06	0.73	40.8	7.06	24.07	9.68				23.02	23.19	22.44	0.78			
	15	130	130	130	17.13	17.3	1.1		2.36	0.65	40.8		23.03	17.77				17.46	16.83	15.01	0.71			
	14	119	119	119	14.23	14.45	1.09	0.59	2.6	0.54	40.8	8.69	25.07	7.04				13.94	13.33	11.49	0.64			
	11				11.73	11.75	0.43	0.38	1.06	0.29	40.8	30.72	8.18	1.9				10.9	11.02	9.61	0.28			
	3.1	220	300	375	2.9	3.01	1.45	1.25	1.46	0.47	823.1	5.51	817.11	0.48				2.54	1.88	-0.57	0.52			
	2	295	358	330	2.42	2.42	0.3	0.22	0.32	0.35	852.6	204.31	305.33	342.96				2.25	1.66	-0.86	0.1			
	1	311	311	311	2.05	2.06	0.45	0.41	0.51	0.41	852.6	377.41	392.85	82.34				0.95	0.97	-0.96	0.19			
	0.5				1.4	1.43	0.77	0.14	0.82	0.14	852.6	0.77	840.78	11.05		0.04		1	1	-0.88	0.36			
Fossé aval	3.2	140	200	212	3.82	4.01	1.01	0.08	3.34	0.78	121	0.01	35.27	85.72	0.125	0.05	0.125	4.1	4.44	2.19	0.97			
	2	200	200	200	2.36	2.37	0.29	0.3	0.7	0.22	202	150.49	15.07	36.44	0.125	0.056	0.125	1.34	2.02	0.46	0.22			
	1	311	311	311	2.02	2.04	0.46	0.51	1	0.29	202	107.84	38.64	55.53	0.125	0.068	0.125	0.4	1.04	-0.04	0.24			

**Annexe 6 : Analyse des incertitudes – Résultats de
simulation**

Résultats de simulation : Crue 100 ans avec Strickler faible																					
Bief	N°coupe	Dist. RG	Dist. LM	Dist. RD	Z (m)	H (m)	V_Total (m/s)	V_RG (m/s)	V_LM (m/s)	V_RD (m/s)	Q_Total (m3/s)	Q_RG (m3/s)	Q_LM (m3/s)	Q_RD (m3/s)	n RG	n LM	n RD	Berge LM RG (m)	Berge LM RD (m)	Fond (m)	Froude
artificiel amont	13	4.5	4.5	4.5	9.26	9.26	0.02		0.02		1		1			0.04		17.880	18.740	6.040	0.000
	12.9	40	40	40	7.22	8.24	4.46		4.46		145.53		145.53			0.04		8.730	8.670	4.770	1.000
	12	68	68	68	6.79	7.49	2.37	1.02	4.14	0.31	145.53	29.41	114.67	1.45	0.1	0.04	0.1	5.330	6.670	4.180	0.960
principal	23	102.5	124.5	138	34.28	35.45	4.16	0.73	4.84	0.36	537.7	11.18	524.46	2.06	0.1	0.04	0.1	33.150	33.530	30.570	0.900
	22	93.5	94	95.5	30.74	31.94	2.89	1.61	5.93	1.4	537.7	95.21	346.34	96.15	0.1	0.04	0.1	27.610	28.200	25.860	0.920
	21	99	101.5	104	27.97	29.38	4.12	0.36	5.44	1.01	537.7	1.63	502.43	33.64	0.1	0.04	0.1	27.290	25.720	22.700	0.880
	20	115	141	135	25.54	26.85	3.91	0.9	5.22	0.74	537.7	19.92	503.79	13.98	0.1	0.04	0.1	24.050	24.320	20.280	0.870
	19	97	110	98	22.69	23.58	2.28	1.32	5.49	0.99	621.5	268.95	346.51	6.03	0.1	0.04	0.1	19.390	20.270	17.930	0.900
	18	134	126	118.5	19.93	21.18	3.15	1.3	5.4	0.96	621.5	23.02	517.87	80.61	0.1	0.04	0.1	16.370	17.860	14.770	0.830
	16	141	134	113	17.02	17.76	1.95	1.44	4.89	0.8	621.5	135.23	365.98	120.29	0.1	0.04	0.1	13.280	16.400	12.310	0.780
	15	69	77.5	72.5	14.41	15.41	2.79	0.58	4.8	0.87	621.5	5.44	525.54	90.51	0.1	0.04	0.1	13.640	12.930	9.140	0.780
	14	45.99	51.67	46.67	12.86	13.88	2.97	0.69	4.71	0.86	621.5	58.39	557.75	5.37	0.1	0.04	0.1	11.850	11.390	8.390	0.830
	13.5	Lat Struct																			
	11	84	98	80	11.55	12.11	1.88	0.82	3.9	0.63	476.97	136.08	339.75	1.13	0.095	0.05	0.1	9.440	10.300	7.760	0.700
	10	71.5	90.5	96.5	9.89	10.47	1.65	1	4.47	0.46	508.87	223.05	275.31	10.51	0.081	0.032	0.1	8.860	9.050	5.300	0.830
	9	98	123.5	126	8.67	9.11	1.06	0.63	4.26	0.72	508.87	231.33	236.3	41.23	0.095	0.032	0.1	6.280	6.860	4.450	0.720
	7	148	157	147	6.7	7.12	1.15	0.77	4.4	0.65	518.97	292.45	210.97	15.54	0.095	0.032	0.1	5.670	5.610	3.150	0.870
	6	15.3	19.5	21.6	5.58	5.95	1.11	0.73	4.01	0.61	518.97	261.96	225.49	31.52	0.095	0.032	0.1	5.550	4.750	2.190	0.840
	5.99	Lat Struct																			
	5	10.73	19.91	19	5.45	5.47	0.36	0.31	1.22	0.28	398.79	272.31	80.83	45.65	0.097	0.032	0.1	4.110	4.190	1.410	0.250
	4	5	5	5	5.43	5.43	0.18	0.16	0.45	0.11	255.44	203.71	50.5	1.23	0.098	0.048	0.1	2.750	3.100	1.490	0.080
	3.5	Bridge																			
	3.2	10	10	10	3.69	4.17	1.56	0.45	3.38	0.41	255.44	43.94	209.92	1.58	0.08	0.032	0.1	2.540	3.020	0.980	0.700
affluent2	17	17.67	18.89	19.56	10.61	10.73	1.37		1.59	0.33	7.4		7.08	0.32		0.04	0.1	13.330	10.290	10.030	0.780
	16	24.6	23.9	23	8.21	8.28	1.14		1.14		7.4		7.4			0.04		9.990	8.710	7.480	0.490
	14	121	121	121	7.44	7.49	0.83	0.11	1		14.8	0.37	14.43		0.1	0.04		7.18	8.77	5.38	0.27
artificiel aval	11	50	48.33	51	6.37	6.77	1.52	0.93	3.79	0.39	159.33	75.88	83.17	0.28	0.1	0.04	0.1	3.47	5.72	2.53	0.73
	10	19.3	18.4	19.6	5.3	5.59	1.2	0.77	3.01	0.58	184.43	24.81	109.85	49.77	0.1	0.04	0.1	3.59	4.57	2.12	0.6
	9	16.86	19.29	17.57	4.23	4.6	1.62	0.59	3.07	0.65	184.43	14.64	141.77	28.03	0.1	0.04	0.1	3.11	3.3	1.43	0.66
	8	38.33	34	40.33	4.36	4.37	0.14	0.08	0.47	0.13	184.43	4.96	37	142.47	0.1	0.032	0.1	3.31	3.38	1.44	0.1
	7	72	159	177	4.36	4.36	0.12	0.09	0.34	0.12	184.43	39.76	20.94	123.74	0.1	0.032	0.1	3.2	3.08	0.84	0.07
	6	19.64	18.82	21	4.34	4.35	0.25	0.17	0.82	0.25	300.73	87.57	68.45	144.72	0.1	0.032	0.1	2.66	2.63	0.23	0.15
	5	19	18.8	21	4.17	4.26	0.59	0.32	1.73	0.39	424.41	155.48	227.85	41.08	0.1	0.032	0.1	2.11	2.34	0.03	0.33
	4	5	5	5	4.02	4.08	0.46	0.32	1.76	0.37	567.76	304.87	203.62	59.27	0.1	0.032	0.1	1.59	1.37	-0.04	0.31
	3.5	Bridge																			
	3.2	10	10	10	2.92	3.28	0.94	0.47	3.56	0.63	567.76	211.8	310.12	45.83	0.1	0.032	0.1	1.61	3.02	-0.57	0.69
affluent1	18	50	73	74	39.06	39.68	3.51		3.51		40.8		40.8			0.053		40.28	39.52	37.43	1
	17.5	1	1	1	35.9	35.98	0.97		1.88	0.8	40.8		12.88	27.92		0.053	0.1	36.24	36.22	34.32	0.6
	17.4	Bridge																			
	17.3	2	2	2	35.65	35.88	1.49		3.06	1.11	40.8		16.45	24.35		0.053	0.1	36.24	36.22	34.32	0.96
	17	240	274	232	34.69	35.49	3.95		3.95		40.8		40.8			0.053		36.16	35.98	32.06	1
	16	220	220	222	24.2	24.5	1.46	1.02	3.06	0.73	40.8	7.06	24.07	9.68	0.1	0.053	0.1	23.02	23.19	22.44	0.78
	15	130	130	130	17.34	17.96	3.39		3.49	0.65	40.8		40.54	0.26		0.053	0.1	17.46	16.83	15.01	0.98
	14	119	119	119	14.23	14.45	1.09	0.59	2.6	0.54	40.8	8.69	25.06	7.04	0.1	0.053	0.1	13.94	13.33	11.49	0.64
principal aval	11				11.73	11.75	0.43	0.38	1.06	0.29	40.8	30.72	8.18	1.9	0.1	0.053	0.1	10.9	11.02	9.61	0.28
	3.1	220	300	375	2.67	2.88	2.03	1.4	2.04	0.53	823.1	3.41	819.37	0.32	0.04	0.048	0.1	2.54	1.88	-0.57	0.82
	2	295	358	330	2.26	2.27	0.34	0.24	0.37	0.4	852.6	187.69	298.95	365.96	0.096	0.07	0.1	2.25	1.66	-0.86	0.12
	1	311	311	311	1.91	1.93	0.52	0.47	0.61	0.47	852.6	380.67	387.17	84.76	0.093	0.055	0.1	0.95	0.97	-0.96	0.24
	0.5				1.4	1.43	0.77	0.14	0.82	0.14	852.6	0.77	840.78	11.05	0.1	0.032	0.1	1	1	-0.88	0.36

Résultats de simulation : Crue 100 ans avec Strickler fort																					
Bief	N°coupe	Dist. RG	Dist. LM	Dist. RD	Z (m)	H (m)	V_Total (m/s)	V_RG (m/s)	V_LM (m/s)	V_RD (m/s)	Q_Total (m3/s)	Q_RG (m3/s)	Q_LM (m3/s)	Q_RD (m3/s)	n RG	n LM	n RD	Berge LM RG (m)	Berge LM RD (m)	Fond (m)	Froude
artificiel amont	13	4.5	4.5	4.5	9.58	9.58	0.02		0.02		1		1			0.06		17.880	18.740	6.040	0.000
	12.9	40	40	40	7.4	8.49	4.63		4.63		164.39		164.39			0.06		8.730	8.670	4.770	1.000
	12	68	68	68	7.45	7.74	1.37	0.76	2.91	0.51	164.39	41.08	108.37	14.93	0.15	0.06	0.15	5.330	6.670	4.180	0.580
principal	23	102.5	124.5	138	34.52	35.47	3.56	0.76	4.4	0.46	537.7	15.84	515.94	5.92	0.15	0.06	0.15	33.150	33.530	30.570	0.790
	22	93.5	94	95.5	31.35	32.1	2.28	1.36	4.83	1.2	537.7	102.84	322.59	112.27	0.15	0.06	0.15	27.610	28.200	25.860	0.700
	21	99	101.5	104	28.43	29.44	3.27	0.55	4.68	0.98	537.7	7.6	483.61	46.49	0.15	0.06	0.15	27.290	25.720	22.700	0.710
	20	115	141	135	26.23	27.02	2.77	0.85	4.17	0.68	537.7	32.57	477.24	27.89	0.15	0.06	0.15	24.050	24.320	20.280	0.630
	19	97	110	98	23.48	23.88	1.6	1.04	3.92	0.75	621.5	314.51	298.92	8.08	0.15	0.06	0.15	19.390	20.270	17.930	0.580
	18	134	126	118.5	20.56	21.36	2.34	0.78	4.45	0.87	621.5	20.57	488.5	112.43	0.15	0.06	0.15	16.370	17.860	14.770	0.640
	16	141	134	113	17.54	17.94	1.44	1.08	3.82	0.76	621.5	123.66	323.15	174.7	0.15	0.06	0.15	13.280	16.400	12.310	0.570
	15	69	77.5	72.5	14.99	15.57	2.05	0.62	3.82	0.81	621.5	11.47	480.05	129.98	0.15	0.06	0.15	13.640	12.930	9.140	0.580
	14	45.99	51.67	46.67	13.01	13.89	2.63	0.65	4.41	0.84	621.5	68.97	546.51	6.03	0.15	0.06	0.15	11.850	11.390	8.390	0.760
	13.5	Lat Struct																			
	11	84	98	80	12.09	12.3	1.11	0.63	2.59	0.48	458.11	191.8	264.56	1.76	0.143	0.075	0.15	9.440	10.300	7.760	0.430
	10	71.5	90.5	96.5	10.28	10.55	1.13	0.75	3.29	0.44	490.01	241.64	229.69	18.67	0.126	0.048	0.15	8.860	9.050	5.300	0.580
	9	98	123.5	126	8.64	9.08	1.05	0.61	4.21	0.71	490.01	218.93	231.58	39.5	0.142	0.048	0.15	6.280	6.860	4.450	0.720
	7	148	157	147	6.86	7.12	0.95	0.67	3.63	0.58	500.11	298.49	184.92	16.7	0.143	0.048	0.15	5.670	5.610	3.150	0.700
	6	15.3	19.5	21.6	5.85	6.03	0.82	0.59	2.96	0.52	500.11	277.81	185.81	36.49	0.143	0.048	0.15	5.550	4.750	2.190	0.580
	5.99	Lat Struct																			
	5	10.73	19.91	19	5.43	5.44	0.33	0.29	1.12	0.25	361.22	246.35	73.7	41.17	0.146	0.048	0.15	4.110	4.190	1.410	0.230
	4	5	5	5	5.37	5.38	0.16	0.14	0.41	0.1	227.19	180.46	45.67	1.07	0.147	0.073	0.15	2.750	3.100	1.490	0.070
	3.5	Bridge																			
	3.2	10	10	10	3.57	4.06	1.73	0.43	3.33	0.36	227.19	29.77	196.32	1.1	0.111	0.048	0.15	2.540	3.020	0.980	0.710
affluent2	17	17.67	18.89	19.56	10.72	10.79	1		1.23	0.27	7.4		6.91	0.49		0.06	0.15	13.330	10.290	10.030	0.540
	16	24.6	23.9	23	8.4	8.44	0.83		0.83		7.4		7.4			0.06		9.990	8.710	7.480	0.320
	14	121	121	121	7.87	7.89	0.46	0.13	0.69		14.8	1.76	13.04		0.15	0.06		7.18	8.77	5.38	0.17
artificiel aval	11	50	48.33	51	6.9	7.12	1.19	0.81	3.03	0.44	178.19	98.15	79.04	1	0.15	0.06	0.15	3.47	5.72	2.53	0.53
	10	19.3	18.4	19.6	5.81	5.95	0.88	0.61	2.29	0.53	203.29	28.29	100.47	74.53	0.15	0.06	0.15	3.59	4.57	2.12	0.42
	9	16.86	19.29	17.57	4.66	4.89	1.25	0.55	2.54	0.61	203.29	22.69	139.79	40.81	0.15	0.06	0.15	3.11	3.3	1.43	0.5
	8	38.33	34	40.33	4.65	4.65	0.13	0.08	0.43	0.12	203.29	6.85	38.83	157.61	0.15	0.048	0.15	3.31	3.38	1.44	0.09
	7	72	159	177	4.64	4.64	0.12	0.09	0.33	0.12	203.29	46.76	23.09	133.45	0.15	0.048	0.15	3.2	3.08	0.84	0.07
	6	19.64	18.82	21	4.61	4.62	0.24	0.16	0.78	0.24	319.59	95.52	71.13	152.94	0.15	0.048	0.15	2.66	2.63	0.23	0.14
	5	19	18.8	21	4.37	4.45	0.56	0.32	1.67	0.38	461.97	181.16	235.63	45.18	0.15	0.048	0.15	2.11	2.34	0.03	0.31
	4	5	5	5	4.04	4.1	0.48	0.33	1.83	0.38	596.01	321.7	212.04	62.26	0.15	0.048	0.15	1.59	1.37	-0.04	0.32
	3.5	Bridge																			
	3.2	10	10	10	2.97	3.31	0.93	0.49	3.56	0.64	596.01	232.53	315.14	48.33	0.15	0.048	0.15	1.61	3.02	-0.57	0.68
affluent1	18	50	73	74	39.06	39.68	3.51		3.51		40.8		40.8			0.08		40.28	39.52	37.43	1
	17.5	1	1	1	35.98	36.04	0.85		1.62	0.71	40.8		12.08	28.72		0.08	0.15	36.24	36.22	34.32	0.51
	17.4	Bridge																			
	17.3	2	2	2	35.65	35.88	1.49		3.06	1.11	40.8		16.45	24.35		0.08	0.15	36.24	36.22	34.32	0.96
	17	240	274	232	34.99	35.55	1.3		3.3		40.8		40.8			0.08		36.16	35.98	32.06	0.8
	16	220	220	222	24.23	24.5	1.4	0.99	2.95	0.72	40.8	7.07	23.6	10.13	0.15	0.08	0.15	23.02	23.19	22.44	0.75
	15	130	130	130	17.73	18.07	2.48	0.23	2.64	0.61	40.8	0.01	40.03	0.76	0.15	0.08	0.15	17.46	16.83	15.01	0.66
	14	119	119	119	14.23	14.45	1.09	0.59	2.6	0.54	40.8	8.69	25.07	7.04	0.15	0.08	0.15	13.94	13.33	11.49	0.64
principal aval	11				11.73	11.75	0.43	0.38	1.06	0.29	40.8	30.72	8.18	1.9	0.15	0.08	0.15	10.9	11.02	9.61	0.28
	3.1	220	300	375	3.07	3.14	1.19	0.97	1.19	0.28	823.1	7.28	815.39	0.42	0.059	0.087	0.15	2.54	1.88	-0.57	0.39
	2	295	358	330	2.56	2.56	0.27	0.2	0.29	0.31	852.6	217.36	309.57	325.67	0.145	0.112	0.15	2.25	1.66	-0.86	0.08
	1	311	311	311	2.18	2.19	0.4	0.36	0.44	0.36	852.6	373.1	399.29	80.21	0.141	0.093	0.15	0.95	0.97	-0.96	0.15
	0.5				1.4	1.43	0.77	0.14	0.82	0.14	852.6	0.77	840.78	11.05	0.15	0.048	0.15	1	1	-0.88	0.36

Résultats de simulation : Crue 100 ans avec coefficient de seuil latéral de 1.1																					
Bief	N°coupe	Dist. RG	Dist. LM	Dist. RD	Z (m)	H (m)	V_Total (m/s)	V_RG (m/s)	V_LM (m/s)	V_RD (m/s)	Q_Total (m3/s)	Q_RG (m3/s)	Q_LM (m3/s)	Q_RD (m3/s)	n RG	n LM	n RD	Berge LM RG (m)	Berge LM RD (m)	Fond (m)	Froude
artificiel amont	13	4.5	4.5	4.5	9.42	9.42	0.02		0.02		1		1			0.05		17.880	18.740	6.040	0.000
	12.9	40	40	40	7.32	8.37	4.55		4.55		155.22		155.22			0.05		8.730	8.670	4.770	1.000
	12	68	68	68	7.16	7.57	1.67	0.85	3.35	0.49	155.22	35.9	110.75	8.58	0.125	0.05	0.125	5.330	6.670	4.180	0.710
principal	23	102.5	124.5	138	34.28	35.45	4.16	0.73	4.84	0.36	537.7	11.18	524.47	2.06	0.125	0.05	0.125	33.150	33.530	30.570	0.900
	22	93.5	94	95.5	30.95	31.96	2.65	1.52	5.51	1.33	537.7	98.1	337.65	101.95	0.125	0.05	0.125	27.610	28.200	25.860	0.830
	21	99	101.5	104	28.09	29.38	3.86	0.43	5.23	1	537.7	2.97	497.73	37	0.125	0.05	0.125	27.290	25.720	22.700	0.830
	20	115	141	135	25.83	26.88	3.38	0.89	4.74	0.73	537.7	25.36	492.84	19.5	0.125	0.05	0.125	24.050	24.320	20.280	0.760
	19	97	110	98	23.12	23.69	1.85	1.15	4.51	0.84	621.5	296.93	317.4	7.17	0.125	0.05	0.125	19.390	20.270	17.930	0.700
	18	134	126	118.5	19.85	21.18	3.28	1.34	5.56	0.97	621.5	22.76	522.73	76.01	0.125	0.05	0.125	16.370	17.860	14.770	0.860
	16	141	134	113	17.43	17.89	1.53	1.15	4	0.77	621.5	126.36	330.65	164.49	0.125	0.05	0.125	13.280	16.400	12.310	0.610
	15	69	77.5	72.5	14.77	15.48	2.28	0.62	4.15	0.84	621.5	9.34	496.15	116.01	0.125	0.05	0.125	13.640	12.930	9.140	0.640
	14	45.99	51.67	46.67	12.86	13.88	2.97	0.69	4.71	0.86	621.5	58.39	557.75	5.37	0.125	0.05	0.125	11.850	11.390	8.390	0.830
	13.5										Lat Struct										
	11	84	98	80	11.73	12.12	1.55	0.75	3.38	0.58	467.28	155.23	310.71	1.33	0.119	0.062	0.125	9.440	10.300	7.760	0.590
	10	71.5	90.5	96.5	9.97	10.45	1.5	0.93	4.14	0.45	499.18	224.82	262.22	12.14	0.102	0.04	0.125	8.860	9.050	5.300	0.760
	9	98	123.5	126	8.51	9.14	1.22	0.66	4.85	0.78	499.18	203.02	257.05	39.1	0.117	0.04	0.125	6.880	6.880	4.450	0.840
	7	148	157	147	6.7	7.1	1.13	0.76	4.29	0.64	509.28	287.55	206.43	15.3	0.118	0.04	0.125	5.670	5.610	3.150	0.850
	6	15.3	19.5	21.6	5.71	5.96	0.95	0.65	3.43	0.57	509.28	271.08	203.9	34.29	0.119	0.04	0.125	5.550	4.750	2.190	0.690
	5.99										Lat Struct										
	5	10.73	19.91	19	5.38	5.39	0.35	0.3	1.17	0.26	364.48	247.82	75.54	41.13	0.121	0.04	0.125	4.110	4.190	1.410	0.240
	4	5	5	5	5.34	5.35	0.16	0.13	0.39	0.09	211.43	167.52	42.93	0.98	0.122	0.06	0.125	2.750	3.100	1.490	0.070
	3.5										Bridge										
	3.2	10	10	10	3.34	3.98	2.62	0.62	3.67	0.28	211.43	16.3	194.7	0.43	0.074	0.04	0.125	2.540	3.020	0.980	0.830
affluent2	17	17.67	18.89	19.56	10.67	10.76	1.15		1.38	0.3	7.4		6.99	0.41		0.05	0.125	13.330	10.290	10.030	0.630
	16	24.6	23.9	23	8.3	8.35	0.97		0.97		7.4		7.4			0.05		9.990	8.710	7.480	0.390
	14	121	121	121	7.65	7.68	0.61	0.12	0.84		14.8	0.99	13.81		0.125	0.05		7.18	8.77	5.38	0.21
	11	50	48.33	51	6.65	6.94	1.32	0.86	3.32	0.42	169.02	88.09	80.31	0.62	0.125	0.05	0.125	3.47	5.72	2.53	0.61
artificiel aval	10	19.3	18.4	19.6	5.57	5.76	1	0.68	2.58	0.56	194.12	26.65	104.01	63.46	0.125	0.05	0.125	3.59	4.57	2.12	0.49
	9	16.86	19.29	17.57	4.49	4.76	1.36	0.56	2.7	0.62	194.12	19.3	139.14	35.68	0.125	0.05	0.125	3.11	3.3	1.43	0.55
	8	38.33	34	40.33	4.54	4.54	0.14	0.08	0.44	0.12	194.12	6.04	37.76	150.33	0.125	0.04	0.125	3.31	3.38	1.44	0.09
	7	72	159	177	4.53	4.53	0.12	0.09	0.33	0.12	194.12	43.55	22.05	128.52	0.125	0.04	0.125	3.2	3.08	0.84	0.07
	6	19.64	18.82	21	4.5	4.51	0.24	0.16	0.79	0.24	310.42	90.71	70.04	149.67	0.125	0.04	0.125	2.66	2.63	0.23	0.14
	5	19	18.8	21	4.3	4.38	0.58	0.32	1.74	0.4	458.72	174.7	239.13	44.89	0.125	0.04	0.125	2.11	2.34	0.03	0.32
	4	5	5	5	4.05	4.12	0.48	0.34	1.86	0.39	611.77	331.33	216.52	63.92	0.125	0.04	0.125	1.59	1.37	-0.04	0.32
	3.5										Bridge										
	3.2	10	10	10	2.97	3.33	0.95	0.5	3.65	0.66	611.77	239.05	323.11	49.61	0.125	0.04	0.125	1.61	3.02	-0.57	0.7
	3.1	220	300	375	2.9	3.01	1.45	1.25	1.46	0.47	823.1	5.51	817.11	0.48	0.049	0.067	0.125	2.54	1.88	-0.57	0.52
principal aval	2	295	358	330	2.42	2.42	0.3	0.22	0.32	0.35	852.6	204.3	305.32	342.98	0.121	0.091	0.125	2.25	1.66	-0.86	0.1
	1	311	311	311	2.05	2.06	0.45	0.41	0.51	0.41	852.6	377.42	392.83	82.35	0.117	0.074	0.125	0.95	0.97	-0.96	0.19
	0.5				1.4	1.43	0.77	0.14	0.82	0.14	852.6	0.77	840.78	11.05	0.125	0.04	0.125	1	1	-0.88	0.36
	18	50	73	74	39.06	39.68	3.51		3.51		40.8		40.8			0.067		40.28	39.52	37.43	1
	17.5	1	1	1	35.94	36.01	0.91		1.74	0.75	40.8		12.47	28.33		0.067	0.125	36.24	36.22	34.32	0.55
	17.4										Bridge										
	17.3	2	2	2	35.65	35.88	1.49		3.06	1.11	40.8		16.45	24.35		0.067	0.125	36.24	36.22	34.32	0.96
	17	240	274	232	34.69	35.49	3.95		3.95		40.8		40.8			0.067		36.16	35.98	32.06	1
	16	220	220	222	24.2	24.5	1.46	1.02	3.06	0.73	40.8	7.06	24.07	9.67	0.125	0.067	0.125	23.02	23.19	22.44	0.78
	15	130	130	130	17.43	17.96	3.14		3.25	0.65	40.8		40.44	0.36		0.067	0.125	17.46	16.83	15.01	0.89
affluent1	14	119	119	119	14.23	14.45	1.09	0.59	2.6	0.54	40.8	8.69	25.07	7.04	0.125	0.067	0.125	13.94	13.33	11.49	0.64
	11				11.73	11.75	0.43	0.38	1.06	0.29	40.8	30.72	8.18	1.9	0.125	0.067	0.125	10.9	11.02	9.61	0.28

Résultats de simulation : Crue 100 ans avec coefficient de seuil latéral de 0.7																					
Bief	N°coupe	Dist. RG	Dist. LM	Dist. RD	Z (m)	H (m)	V_Total (m/s)	V_RG (m/s)	V_LM (m/s)	V_RD (m/s)	Q_Total (m3/s)	Q_RG (m3/s)	Q_LM (m3/s)	Q_RD (m3/s)	n RG	n LM	n RD	Berge LM RG (m)	Berge LM RD (m)	Fond (m)	Froude
artificiel amont	13	4.5	4.5	4.5	9.42	9.42	0.02		0.02		1		1			0.05		17.880	18.740	6.040	0.000
	12.9	40	40	40	7.31	8.36	4.55		4.55		154.84		154.84			0.05		8.730	8.670	4.770	1.000
	12	68	68	68	7.15	7.57	1.67	0.85	3.35	0.49	154.84	35.78	110.56	8.5	0.125	0.05	0.125	5.330	6.670	4.180	0.710
principal	23	102.5	124.5	138	34.28	35.45	4.16	0.73	4.84	0.36	537.7	11.18	524.47	2.06	0.125	0.05	0.125	33.150	33.530	30.570	0.900
	22	93.5	94	95.5	30.95	31.96	2.65	1.52	5.51	1.33	537.7	98.1	337.65	101.95	0.125	0.05	0.125	27.610	28.200	25.860	0.830
	21	99	101.5	104	28.09	29.38	3.86	0.43	5.23	1	537.7	2.97	497.73	37	0.125	0.05	0.125	27.290	25.720	22.700	0.830
	20	115	141	135	25.83	26.88	3.38	0.89	4.74	0.73	537.7	25.36	492.84	19.5	0.125	0.05	0.125	24.050	24.320	20.280	0.760
	19	97	110	98	23.12	23.69	1.85	1.15	4.51	0.84	621.5	296.93	317.4	7.17	0.125	0.05	0.125	19.390	20.270	17.930	0.700
	18	134	126	118.5	19.85	21.18	3.28	1.34	5.56	0.97	621.5	22.76	522.73	76.01	0.125	0.05	0.125	16.370	17.860	14.770	0.860
	16	141	134	113	17.43	17.89	1.53	1.15	4	0.77	621.5	126.36	330.65	164.49	0.125	0.05	0.125	13.280	16.400	12.310	0.610
	15	69	77.5	72.5	14.77	15.48	2.28	0.62	4.15	0.84	621.5	9.34	496.15	116.01	0.125	0.05	0.125	13.640	12.930	9.140	0.640
	14	45.99	51.67	46.67	12.86	13.88	2.97	0.69	4.71	0.86	621.5	58.39	557.75	5.37	0.125	0.05	0.125	11.850	11.390	8.390	0.830
	13.5	Lat Struct																			
	11	84	98	80	11.71	12.12	1.58	0.76	3.42	0.58	467.66	153.04	313.31	1.31	0.119	0.062	0.125	9.440	10.300	7.760	0.600
	10	71.5	90.5	96.5	10.3	10.57	1.14	0.76	3.32	0.45	499.56	247.27	232.94	19.35	0.105	0.04	0.125	8.860	9.050	5.300	0.580
	9	98	123.5	126	8.47	9.17	1.28	0.68	5.07	0.8	499.56	195.69	265.2	38.67	0.117	0.04	0.125	6.280	6.860	4.450	0.880
	7	148	157	147	6.67	7.11	1.17	0.78	4.46	0.65	509.66	283.15	211.63	14.88	0.118	0.04	0.125	5.670	5.610	3.150	0.890
	6	15.3	19.5	21.6	5.77	5.99	0.9	0.63	3.24	0.55	509.66	276.77	197.23	35.65	0.119	0.04	0.125	5.550	4.750	2.190	0.650
	5.99	Lat Struct																			
	5	10.73	19.91	19	5.5	5.52	0.35	0.3	1.17	0.27	396.9	271.77	79.27	45.85	0.121	0.04	0.125	4.110	4.190	1.410	0.240
	4	5	5	5	5.46	5.46	0.19	0.17	0.48	0.11	275.79	220.45	53.99	1.35	0.122	0.06	0.125	2.750	3.100	1.490	0.080
	3.5	Bridge																			
	3.2	10	10	10	3.77	4.25	1.49	0.47	3.42	0.44	275.79	54.4	219.48	1.9	0.103	0.04	0.125	2.540	3.020	0.980	0.700
affluent2	17	17.67	18.89	19.56	10.67	10.76	1.15		1.38	0.3	7.4		6.99	0.41		0.05	0.125	13.330	10.290	10.030	0.630
	16	24.6	23.9	23	8.3	8.35	0.97		0.97		7.4		7.4			0.05		9.990	8.710	7.480	0.390
	14	121	121	121	7.64	7.68	0.61	0.12	0.84		14.8	0.98	13.82		0.125	0.05		7.18	8.77	5.38	0.21
artificiel aval	11	50	48.33	51	6.65	6.94	1.32	0.86	3.32	0.42	168.64	87.83	80.19	0.62	0.125	0.05	0.125	3.47	5.72	2.53	0.61
	10	19.3	18.4	19.6	5.57	5.76	1	0.68	2.58	0.56	193.74	26.59	103.96	63.19	0.125	0.05	0.125	3.59	4.57	2.12	0.49
	9	16.86	19.29	17.57	4.41	4.72	1.44	0.58	2.83	0.64	193.74	18.24	141.47	34.03	0.125	0.05	0.125	3.11	3.3	1.43	0.58
	8	38.33	34	40.33	4.47	4.47	0.14	0.08	0.46	0.12	193.74	5.69	38.15	149.9	0.125	0.04	0.125	3.31	3.38	1.44	0.1
	7	72	159	177	4.46	4.46	0.12	0.09	0.34	0.12	193.74	42.71	22.01	129.02	0.125	0.04	0.125	3.2	3.08	0.84	0.07
	6	19.64	18.82	21	4.43	4.44	0.25	0.16	0.82	0.25	310.04	89.19	70.63	150.23	0.125	0.04	0.125	2.66	2.63	0.23	0.15
	5	19	18.8	21	4.23	4.31	0.57	0.31	1.68	0.38	426.3	158.79	226.01	41.5	0.125	0.04	0.125	2.11	2.34	0.03	0.32
	4	5	5	5	4	4.06	0.45	0.31	1.72	0.36	547.41	292.72	197.56	57.12	0.125	0.04	0.125	1.59	1.37	-0.04	0.3
	3.5	Bridge																			
	3.2	10	10	10	2.91	3.25	0.92	0.46	3.49	0.62	547.41	201.1	302.19	44.12	0.125	0.04	0.125	1.61	3.02	-0.57	0.67
affluent1	18	50	73	74	39.06	39.68	3.51		3.51		40.8		40.8			0.067		40.28	39.52	37.43	1
	17.5	1	1	1	35.94	36.01	0.91		1.74	0.75	40.8		12.47	28.33		0.067	0.125	36.24	36.22	34.32	0.55
	17.4	Bridge																			
	17.3	2	2	2	35.65	35.88	1.49		3.06	1.11	40.8		16.45	24.35		0.067	0.125	36.24	36.22	34.32	0.96
	17	240	274	232	34.69	35.49	3.95		3.95		40.8		40.8			0.067		36.16	35.98	32.06	1
	16	220	220	222	24.2	24.5	1.46	1.02	3.06	0.73	40.8	7.06	24.07	9.67	0.125	0.067	0.125	23.02	23.19	22.44	0.78
	15	130	130	130	17.43	17.96	3.14		3.25	0.65	40.8		40.44	0.36		0.067	0.125	17.46	16.83	15.01	0.89
principal aval	14	119	119	119	14.23	14.45	1.09	0.59	2.6	0.54	40.8	8.69	25.07	7.04	0.125	0.067	0.125	13.94	13.33	11.49	0.64
	11				11.73	11.75	0.43	0.38	1.06	0.29	40.8	30.72	8.18	1.9	0.125	0.067	0.125	10.9	11.02	9.61	0.28
	3.1	220	300	375	2.9	3.01	1.45	1.25	1.46	0.47	823.1	5.51	817.11	0.48	0.049	0.067	0.125	2.54	1.88	-0.57	0.52
	2	295	358	330	2.42	2.42	0.3	0.22	0.32	0.35	852.6	204.31	305.33	342.96	0.121	0.091	0.125	2.25	1.66	-0.86	0.1
	1	311	311	311	2.05	2.06	0.45	0.41	0.51	0.41	852.6	377.41	392.85	82.34	0.117	0.074	0.125	0.95	0.97	-0.96	0.19
	0.5				1.4	1.43	0.77	0.14	0.82	0.14	852.6	0.77	840.78	11.05	0.125	0.04	0.125	1	1	-0.88	0.36

Résultats de simulation : Crue 100 ans avec loi d'énergie pour loi de pont																					
Bief	N°coupe	Dist. RG	Dist. LM	Dist. RD	Z (m)	H (m)	V_Total (m/s)	V_RG (m/s)	V_LM (m/s)	V_RD (m/s)	Q_Total (m3/s)	Q_RG (m3/s)	Q_LM (m3/s)	Q_RD (m3/s)	n RG	n LM	n RD	Berge LM RG (m)	Berge LM RD (m)	Fond (m)	Froude
artificiel amont	13	4.5	4.5	4.5	9.42	9.42	0.02		0.02		1		1			0.05		17.880	18.740	6.040	0.000
	12.9	40	40	40	7.32	8.37	4.55		4.55		155.26		155.26			0.05		8.730	8.670	4.770	1.000
	12	68	68	68	7.16	7.57	1.67	0.85	3.35	0.49	155.26	35.91	110.76	8.58	0.125	0.05	0.125	5.330	6.670	4.180	0.710
principal	23	102.5	124.5	138	34.28	35.45	4.16	0.73	4.84	0.36	537.7	11.18	524.47	2.06	0.125	0.05	0.125	33.150	33.530	30.570	0.900
	22	93.5	94	95.5	30.95	31.96	2.65	1.52	5.51	1.33	537.7	98.1	337.65	101.95	0.125	0.05	0.125	27.610	28.200	25.860	0.830
	21	99	101.5	104	28.09	29.38	3.86	0.43	5.23	1	537.7	2.97	497.73	37	0.125	0.05	0.125	27.290	25.720	22.700	0.830
	20	115	141	135	25.83	26.88	3.38	0.89	4.74	0.73	537.7	25.36	492.84	19.5	0.125	0.05	0.125	24.050	24.320	20.280	0.760
	19	97	110	98	23.12	23.69	1.85	1.15	4.51	0.84	621.5	296.93	317.4	7.17	0.125	0.05	0.125	19.390	20.270	17.930	0.700
	18	134	126	118.5	19.85	21.18	3.28	1.34	5.56	0.97	621.5	22.76	522.73	76.01	0.125	0.05	0.125	16.370	17.860	14.770	0.860
	16	141	134	113	17.43	17.89	1.53	1.15	4	0.77	621.5	126.36	330.65	164.49	0.125	0.05	0.125	13.280	16.400	12.310	0.610
	15	69	77.5	72.5	14.77	15.48	2.28	0.62	4.15	0.84	621.5	9.34	496.15	116.01	0.125	0.05	0.125	13.640	12.930	9.140	0.640
	14	45.99	51.67	46.67	12.86	13.88	2.97	0.69	4.71	0.86	621.5	58.39	557.75	5.37	0.125	0.05	0.125	11.850	11.390	8.390	0.830
	13.5	Lat Struct																			
	11	84	98	80	11.73	12.12	1.54	0.75	3.36	0.58	467.24	155.94	309.96	1.34	0.119	0.062	0.125	9.440	10.300	7.760	0.590
	10	71.5	90.5	96.5	10.05	10.47	1.4	0.88	3.94	0.45	499.14	230.04	255.34	13.76	0.103	0.04	0.125	8.860	9.050	5.300	0.720
	9	98	123.5	126	8.43	9.2	1.34	0.69	5.25	0.82	499.14	189.43	271.59	38.12	0.117	0.04	0.125	6.280	6.860	4.450	0.920
	7	148	157	147	6.64	7.11	1.21	0.79	4.6	0.66	509.24	279.18	215.55	14.51	0.118	0.04	0.125	5.670	5.610	3.150	0.920
	6	15.3	19.5	21.6	5.82	6.02	0.86	0.61	3.11	0.54	509.24	280.13	192.62	36.49	0.119	0.04	0.125	5.550	4.750	2.190	0.620
	5.99	Lat Struct																			
	5	10.73	19.91	19	5.62	5.63	0.28	0.24	0.93	0.22	340.62	234.25	66.13	40.24	0.121	0.04	0.125	4.110	4.190	1.410	0.180
	4	5	5	5	5.6	5.6	0.1	0.09	0.24	0.06	152.2	122.79	28.62	0.78	0.122	0.061	0.125	2.750	3.100	1.490	0.040
	3.5	Bridge																			
	3.2	10	10	10	2.83	3.52	3.51	1.3	3.71		152.2	4.91	147.29		0.052	0.04		2.540	3.020	0.980	0.960
affluent2	17	17.67	18.89	19.56	10.67	10.76	1.15		1.38	0.3	7.4		6.99	0.41		0.05	0.125	13.330	10.290	10.030	0.630
	16	24.6	23.9	23	8.3	8.35	0.97		0.97		7.4		7.4			0.05		9.990	8.710	7.480	0.390
	14	121	121	121	7.65	7.68	0.6	0.12	0.84		14.8	0.99	13.81		0.125	0.05		7.18	8.77	5.38	0.21
artificiel aval	11	50	48.33	51	6.65	6.94	1.32	0.86	3.32	0.42	169.06	88.11	80.32	0.63	0.125	0.05	0.125	3.47	5.72	2.53	0.61
	10	19.3	18.4	19.6	5.57	5.76	1	0.68	2.57	0.55	194.16	26.66	103.94	63.55	0.125	0.05	0.125	3.59	4.57	2.12	0.49
	9	16.86	19.29	17.57	4.55	4.79	1.29	0.55	2.6	0.61	194.16	20.14	137.08	36.94	0.125	0.05	0.125	3.11	3.3	1.43	0.52
	8	38.33	34	40.33	4.6	4.6	0.13	0.08	0.43	0.12	194.16	6.31	37.39	150.45	0.125	0.04	0.125	3.31	3.38	1.44	0.09
	7	72	159	177	4.59	4.59	0.11	0.09	0.33	0.11	194.16	44.17	22.05	127.93	0.125	0.04	0.125	3.2	3.08	0.84	0.06
	6	19.64	18.82	21	4.56	4.57	0.23	0.15	0.77	0.23	310.46	91.79	69.53	149.14	0.125	0.04	0.125	2.66	2.63	0.23	0.14
	5	19	18.8	21	4.37	4.45	0.58	0.33	1.75	0.4	482.58	188.64	246.74	47.2	0.125	0.04	0.125	2.11	2.34	0.03	0.32
	4	5	5	5	4.1	4.17	0.51	0.36	1.97	0.41	671	368.03	232.77	70.2	0.125	0.04	0.125	1.59	1.37	-0.04	0.34
	3.5	Bridge																			
	3.2	10	10	10	3.02	3.4	0.99	0.54	3.8	0.69	671	273.45	342.92	54.63	0.125	0.04	0.125	1.61	3.02	-0.57	0.72
affluent1	18	50	73	74	39.06	39.68	3.51		3.51		40.8		40.8			0.067		40.28	39.52	37.43	1
	17.5	1	1	1	35.94	36.01	0.91		1.74	0.75	40.8		12.47	28.33		0.067	0.125	36.24	36.22	34.32	0.55
	17.4	Bridge																			
	17.3	2	2	2	35.65	35.88	1.49		3.06	1.11	40.8		16.45	24.35		0.067	0.125	36.24	36.22	34.32	0.96
	17	240	274	232	34.69	35.49	3.95		3.95		40.8		40.8			0.067		36.16	35.98	32.06	1
	16	220	220	222	24.2	24.5	1.46	1.02	3.06	0.73	40.8	7.06	24.07	9.67	0.125	0.067	0.125	23.02	23.19	22.44	0.78
	15	130	130	130	17.43	17.96	3.14		3.25	0.65	40.8		40.44	0.36		0.067	0.125	17.46	16.83	15.01	0.89
	14	119	119	119	14.23	14.45	1.09	0.59	2.6	0.54	40.8	8.69	25.07	7.04	0.125	0.067	0.125	13.94	13.33	11.49	0.64
principal aval	11				11.73	11.75	0.43	0.38	1.06	0.29	40.8	30.72	8.18	1.9	0.125	0.067	0.125	10.9	11.02	9.61	0.28
	3.1	220	300	375	2.9	3.01	1.45	1.25	1.46	0.47	823.1	5.51	817.11	0.48	0.049	0.067	0.125	2.54	1.88	-0.57	0.52
	2	295	358	330	2.42	2.42	0.3	0.22	0.32	0.35	852.6	204.31	305.33	342.96	0.121	0.091	0.125	2.25	1.66	-0.86	0.1
	1	311	311	311	2.05	2.06	0.45	0.41	0.51	0.41	852.6	377.41	392.85	82.34	0.117	0.074	0.125	0.95	0.97	-0.96	0.19
	0.5				1.4	1.43	0.77	0.14	0.82	0.14	852.6	0.77	840.78	11.05	0.125	0.04	0.125	1	1	-0.88	0.36

Résultats de simulation : Crue 100 ans fourchette basse du débit																					
Bief	N°coupe	Dist. RG	Dist. LM	Dist. RD	Z (m)	H (m)	V_Total (m/s)	V_RG (m/s)	V_LM (m/s)	V_RD (m/s)	Q_Total (m3/s)	Q_RG (m3/s)	Q_LM (m3/s)	Q_RD (m3/s)	n RG	n LM	n RD	Berge LM RG (m)	Berge LM RD (m)	Fond (m)	Froude
artificiel amont	13	4.5	4.5	4.5	9.08	9.08	0.02		0.02		1		1.000			0.05		17.880	18.740	6.040	0.000
	12.9	40	40	40	7.08	8.04	4.33		4.33		131.73		131.730			0.05		8.730	8.670	4.770	1.000
	12	68	68	68	6.97	7.39	1.72	0.81	3.27	0.38	131.73	28.45	99.120	4.15	0.125	0.05	0.125	5.330	6.670	4.180	0.720
principal	23	102.5	124.5	138	33.86	34.88	4.23	0.49	4.49	0.3	420.1	2.96	416.980	0.16	0.125	0.05	0.125	33.150	33.530	30.570	0.910
	22	93.5	94	95.5	30.43	31.38	2.59	1.39	5.19	1.19	420.1	71.62	281.100	67.38	0.125	0.05	0.125	27.610	28.200	25.860	0.830
	21	99	101.5	104	27.66	28.72	3.79	0.23	4.69	0.84	420.1	0.16	398.980	20.96	0.125	0.05	0.125	27.290	25.720	22.700	0.790
	20	115	141	135	25.58	26.36	2.99	0.7	4.02	0.58	420.1	16.19	392.390	11.52	0.125	0.05	0.125	24.050	24.320	20.280	0.660
	19	97	110	98	22.65	23.22	1.82	1.04	4.38	0.78	485.6	207.67	273.300	4.63	0.125	0.05	0.125	19.390	20.270	17.930	0.720
	18	134	126	118.5	19.44	20.59	3.22	1.21	5.05	0.77	485.6	16.67	429.020	39.92	0.125	0.05	0.125	16.370	17.860	14.770	0.830
	16	141	134	113	17.13	17.52	1.42	1.07	3.6	0.62	485.6	104.94	277.200	103.46	0.125	0.05	0.125	13.280	16.400	12.310	0.570
	15	69	77.5	72.5	14.31	14.99	2.33	0.43	3.93	0.68	485.6	3.33	418.230	64.04	0.125	0.05	0.125	13.640	12.930	9.140	0.640
	14	45.99	51.67	46.67	12.49	13.41	3.16	0.54	4.37	0.69	485.6	24.12	458.660	2.82	0.125	0.05	0.125	11.850	11.390	8.390	0.820
	13.5	Lat Struct																			
	11	84	98	80	11.42	11.82	1.62	0.65	3.2	0.5	354.87	86.95	267.22	0.7	0.118	0.062	0.125	9.440	10.300	7.760	0.590
	10	71.5	90.5	96.5	9.72	10.16	1.48	0.84	3.8	0.31	379.67	155.15	219.85	4.67	0.1	0.04	0.125	8.860	9.050	5.300	0.730
	9	98	123.5	126	8.48	8.87	0.95	0.51	3.78	0.6	379.67	151.06	199.07	29.54	0.117	0.04	0.125	6.280	6.860	4.450	0.660
	7	148	157	147	6.45	6.94	1.16	0.69	4.38	0.55	387.67	189.09	189.75	8.84	0.117	0.04	0.125	5.670	5.610	3.150	0.910
	6	15.3	19.5	21.6	5.56	5.78	0.84	0.55	3.03	0.46	387.67	194.76	189.59	23.32	0.118	0.04	0.125	5.550	4.750	2.190	0.630
	5.99	Lat Struct																			
	5	10.73	19.91	19	5.3	5.32	0.29	0.25	0.99	0.22	291.68	197.35	61.93	32.4	0.122	0.04	0.125	4.110	4.190	1.410	0.210
	4	5	5	5	5.28	5.28	0.14	0.12	0.35	0.08	182.17	143.58	37.78	0.82	0.122	0.06	0.125	2.750	3.100	1.490	0.060
	3.5	Bridge																			
	3.2	10	10	10	3.05	3.77	3.5	1.21	3.84	0.05	182.17	8.13	174.04	0	0.055	0.04	0.125	2.540	3.020	0.980	0.930
affluent2	17	17.67	18.89	19.56	10.61	10.69	1.09		1.27	0.26	5.9		5.64	0.26		0.05	0.125	13.330	10.290	10.030	0.620
	16	24.6	23.9	23	8.21	8.25	0.92		0.92		5.9		5.9			0.05		9.990	8.710	7.480	0.400
	14	121	121	121	7.45	7.49	0.65	0.09	0.79		11.8	0.32	11.48		0.125	0.05		7.18	8.77	5.38	0.21
artificiel aval	11	50	48.33	51	6.46	6.74	1.27	0.79	3.18	0.35	142.53	70.17	72.02	0.33	0.125	0.05	0.125	3.47	5.72	2.53	0.6
	10	19.3	18.4	19.6	5.38	5.57	0.98	0.64	2.48	0.5	161.93	21.94	93.26	46.72	0.125	0.05	0.125	3.59	4.57	2.12	0.49
	9	16.86	19.29	17.57	4.28	4.54	1.35	0.51	2.6	0.56	161.93	13.56	122.61	25.76	0.125	0.05	0.125	3.11	3.3	1.43	0.55
	8	38.33	34	40.33	4.31	4.31	0.13	0.07	0.42	0.11	161.93	4.14	32.84	124.95	0.125	0.04	0.125	3.31	3.38	1.44	0.09
	7	72	159	177	4.3	4.3	0.11	0.08	0.31	0.11	161.93	34.37	18.38	109.18	0.125	0.04	0.125	3.2	3.08	0.84	0.06
	6	19.64	18.82	21	4.28	4.29	0.22	0.15	0.7	0.21	252.73	74.47	57.39	120.86	0.125	0.04	0.125	2.66	2.63	0.23	0.13
	5	19	18.8	21	4.12	4.18	0.5	0.27	1.48	0.33	351.42	126.81	190.76	33.84	0.125	0.04	0.125	2.11	2.34	0.03	0.28
	4	5	5	5	3.93	3.98	0.4	0.27	1.53	0.31	460.93	241.17	171.78	47.98	0.125	0.04	0.125	1.59	1.37	-0.04	0.27
	3.5	Bridge																			
	3.2	10	10	10	2.75	3.13	0.96	0.42	3.47	0.58	460.93	141.83	283.33	35.76	0.125	0.04	0.125	1.61	3.02	-0.57	0.69
affluent1	18	50	73	74	38.86	39.42	3.31		3.31		32.6		32.6			0.067		40.28	39.52	37.43	1.01
	17.5	1	1	1	35.84	35.9	0.86		1.68	0.69	32.6		10.85	21.75		0.067	0.125	36.24	36.22	34.32	0.53
	17.4	Bridge																			
	17.3	2	2	2	35.57	35.78	1.38		2.84	0.99	32.6		14.2	18.4		0.067	0.125	36.24	36.22	34.32	0.91
	17	240	274	232	34.4	35.15	3.83		3.83		32.6		32.6			0.067		36.16	35.98	32.06	1
	16	220	220	222	24.1	24.37	1.38	0.93	2.82	0.6	32.6	5.57	20.81	6.22	0.125	0.067	0.125	23.02	23.19	22.44	0.74
	15	130	130	130	17.04	17.22	1.07		2.27	0.56	32.6		20.58	12.02		0.067	0.125	17.46	16.83	15.01	0.7
	14	119	119	119	14.16	14.36	1.04	0.49	2.4	0.45	32.6	5.91	22.17	4.52	0.125	0.067	0.125	13.94	13.33	11.49	0.6
principal aval	11				11.73	11.74	0.34	0.3	0.85	0.24	32.6	24.55	6.53	1.52	0.125	0.067	0.125	10.9	11.02	9.61	0.23
	3.1	220	300	375	2.7	2.82	1.5	1.08	1.51	0.41	643.1	2.91	639.92	0.27	0.05	0.061	0.125	2.54	1.88	-0.57	0.6
	2	295	358	330	2.24	2.24	0.27	0.19	0.29	0.32	666.1	144.61	232.81	288.68	0.12	0.087	0.125	2.25	1.66	-0.86	0.1
	1	311	311	311	1.89	1.9	0.42	0.37	0.49	0.37	666.1	297.03	302.73	66.34	0.117	0.069	0.125	0.95	0.97	-0.96	0.2
	0.5				1.4	1.42	0.6	0.11	0.64	0.11	666.1	0.6	656.87	8.63	0.125	0.04	0.125	1	1	-0.88	0.28

Résultats de simulation : Crue 100 ans fourchette haute du débit																					
Bief	N°coupe	Dist. RG	Dist. LM	Dist. RD	Z (m)	H (m)	V_Total (m/s)	V_RG (m/s)	V_LM (m/s)	V_RD (m/s)	Q_Total (m3/s)	Q_RG (m3/s)	Q_LM (m3/s)	Q_RD (m3/s)	n RG	n LM	n RD	Berge LM RG (m)	Berge LM RD (m)	Fond (m)	Froude
artificiel amont	13	4.5	4.5	4.5	9.68	9.68	0.02		0.02		1		1			0.05		17.880	18.740	6.040	0
	12.9	40	40	40	7.49	8.62	4.7		4.7		174.28		174.28			0.05		8.730	8.670	4.770	1
	12	68	68	68	7.3	7.71	1.65	0.88	3.41	0.55	174.28	41.75	119.78	12.75	0.125	0.05	0.125	5.330	6.670	4.180	0.7
principal	23	102.5	124.5	138	34.62	35.82	3.92	0.89	4.96	0.58	630.2	20.84	599.92	9.43	0.125	0.05	0.125	33.150	33.530	30.570	0.88
	22	93.5	94	95.5	31.27	32.36	2.75	1.63	5.81	1.43	630.2	119.47	381.57	129.16	0.125	0.05	0.125	27.610	28.200	25.860	0.85
	21	99	101.5	104	28.4	29.81	3.88	0.64	5.54	1.15	630.2	8.43	568.14	53.63	0.125	0.05	0.125	27.290	25.720	22.700	0.85
	20	115	141	135	26.11	27.29	3.45	1.01	5.08	0.8	630.2	35.75	565.25	29.19	0.125	0.05	0.125	24.050	24.320	20.280	0.78
	19	97	110	98	23.46	24.02	1.89	1.23	4.63	0.88	728.3	367.24	351.67	9.39	0.125	0.05	0.125	19.390	20.270	17.930	0.69
	18	134	126	118.5	20.19	21.6	3.27	1.33	5.81	1.1	728.3	26.61	590.61	111.08	0.125	0.05	0.125	16.370	17.860	14.770	0.87
	16	141	134	113	17.65	18.14	1.6	1.19	4.27	0.87	728.3	142.17	370.2	215.93	0.125	0.05	0.125	13.280	16.400	12.310	0.63
	15	69	77.5	72.5	15.18	15.86	2.19	0.68	4.18	0.93	728.3	15.07	547.43	165.8	0.125	0.05	0.125	13.640	12.930	9.140	0.62
	14	45.99	51.67	46.67	13.23	14.17	2.61	0.76	4.66	0.92	728.3	104.92	615.4	7.98	0.125	0.05	0.125	11.850	11.390	8.390	0.78
	13.5	Lat Struct																			
	11	84	98	80	11.92	12.33	1.54	0.8	3.55	0.64	555.02	207.51	345.61	1.9	0.119	0.062	0.125	9.440	10.300	7.760	0.6
	10	71.5	90.5	96.5	10.12	10.64	1.56	1	4.44	0.54	592.42	279.51	294.5	18.41	0.104	0.04	0.125	8.860	9.050	5.300	0.8
	9	98	123.5	126	8.65	9.27	1.26	0.74	5.06	0.85	592.42	265.82	278.78	47.82	0.118	0.04	0.125	6.280	6.860	4.450	0.86
	7	148	157	147	6.85	7.24	1.16	0.82	4.44	0.71	604.32	359.23	225.05	20.04	0.119	0.04	0.125	5.670	5.610	3.150	0.85
	6	15.3	19.5	21.6	5.86	6.11	0.99	0.71	3.55	0.62	604.32	336.24	223.85	44.23	0.12	0.04	0.125	5.550	4.750	2.190	0.7
	5.99	Lat Struct																			
	5	10.73	19.91	19	5.52	5.54	0.39	0.34	1.3	0.3	448	307.11	88.92	51.97	0.121	0.04	0.125	4.110	4.190	1.410	0.26
	4	5	5	5	5.48	5.48	0.2	0.17	0.5	0.12	288.23	230.68	56.13	1.42	0.122	0.06	0.125	2.750	3.100	1.490	0.08
3.5	Bridge																				
3.2	10	10	10	3.8	4.29	1.49	0.48	3.49	0.46	288.23	59.58	226.58	2.07	0.104	0.04	0.125	2.540	3.020	0.980	0.71	
affluent2	17	17.67	18.89	19.56	10.72	10.82	1.19		1.47	0.32	8.8		8.23	0.57		0.05	0.125	13.330	10.290	10.030	0.64
	16	24.6	23.9	23	8.39	8.44	1.01		1.01		8.8		8.8			0.05		9.990	8.710	7.480	0.39
	14	121	121	121	7.8	7.83	0.6	0.16	0.88		17.7	1.81	15.89		0.125	0.05		7.18	8.77	5.38	0.21
artificiel aval	11	50	48.33	51	6.8	7.09	1.36	0.91	3.44	0.48	190.98	103.03	87.03	0.93	0.125	0.05	0.125	3.47	5.72	2.53	0.61
	10	19.3	18.4	19.6	5.71	5.9	1.02	0.71	2.66	0.6	220.08	30.46	112.42	77.2	0.125	0.05	0.125	3.59	4.57	2.12	0.49
	9	16.86	19.29	17.57	4.57	4.88	1.44	0.62	2.89	0.68	220.08	23.24	154.37	42.47	0.125	0.05	0.125	3.11	3.3	1.43	0.58
	8	38.33	34	40.33	4.64	4.64	0.15	0.09	0.47	0.13	220.08	7.37	42.1	170.61	0.125	0.04	0.125	3.31	3.38	1.44	0.1
	7	72	159	177	4.63	4.63	0.13	0.1	0.36	0.13	220.08	50.54	24.99	144.55	0.125	0.04	0.125	3.2	3.08	0.84	0.07
	6	19.64	18.82	21	4.6	4.61	0.26	0.17	0.87	0.26	356.28	106.29	79.38	170.61	0.125	0.04	0.125	2.66	2.63	0.23	0.15
	5	19	18.8	21	4.37	4.46	0.62	0.35	1.87	0.43	516.6	202.23	263.85	50.52	0.125	0.04	0.125	2.11	2.34	0.03	0.34
	4	5	5	5	4.09	4.17	0.52	0.37	2	0.42	676.37	370.1	235.52	70.75	0.125	0.04	0.125	1.59	1.37	-0.04	0.34
	3.5	Bridge																			
	3.2	10	10	10	3	3.41	1.01	0.54	3.88	0.7	676.37	272.79	348.57	55.01	0.125	0.04	0.125	1.61	3.02	-0.57	0.74
affluent1	18	50	73	74	39.23	39.92	3.7		3.7		48.9		48.9			0.067		40.28	39.52	37.43	1
	17.5	1	1	1	36.02	36.09	0.97		1.83	0.82	48.9		14.14	34.76		0.067	0.125	36.24	36.22	34.32	0.58
	17.4	Bridge																			
	17.3	2	2	2	35.76	35.96	1.46		2.91	1.14	48.9		17.45	31.45		0.067	0.125	36.24	36.22	34.32	0.91
	17	240	274	232	34.93	35.79	4.1		4.1		48.9		48.9			0.067		36.16	35.98	32.06	1
	16	220	220	222	24.3	24.61	1.51	1.09	3.21	0.83	48.9	8.53	26.87	13.5	0.125	0.067	0.125	23.02	23.19	22.44	0.8
principal aval	15	130	130	130	17.2	17.37	1.15		2.45	0.73	48.9		25.4	23.5		0.067	0.125	17.46	16.83	15.01	0.72
	14	119	119	119	14.31	14.52	1.09	0.66	2.66	0.6	48.9	11.84	26.93	10.12	0.125	0.067	0.125	13.94	13.33	11.49	0.64
	11				11.73	11.75	0.51	0.45	1.27	0.35	48.9	36.82	9.8	2.28	0.125	0.067	0.125	10.9	11.02	9.61	0.34
	3.1	220	300	375	3.03	3.14	1.45	1.29	1.46	0.41	964.6	7.98	956.08	0.54	0.049	0.071	0.125	2.54	1.88	-0.57	0.49
principal aval	2	295	358	330	2.54	2.55	0.31	0.24	0.34	0.37	999.2	253.18	362.31	383.71	0.121	0.093	0.125	2.25	1.66	-0.86	0.1
	1	311	311	311	2.17	2.18	0.47	0.43	0.52	0.43	999.2	437.63	467.3	94.27	0.117	0.077	0.125	0.95	0.97	-0.96	0.18
	0.5				1.4	1.45	0.9	0.16	0.96	0.16	999.2	0.9	985.35	12.95	0.125	0.04	0.125	1	1	-0.88	0.42